

Vysoká škola strojní a textilní v Liberci  
nositelka Řádu práce  
Fakulta strojní

Obor 23 - 40 - 8

Automatizované systémy řízení výrobních procesů  
ve strojírenství

Katedra technické kybernetiky

Algoritmus adaptivního regulátoru na mikropočítači SAPI 1  
KTK ASŘ - SF - 126

PAVEL TVRZNÍK

Vedoucí práce: Ing. Bedřich JANEČEK CSc.  
VŠST LIBEREC

Počet stran : 51  
Počet příloh : 5  
Počet tabulek : -  
Počet obrázků : 10

Datum: 23. května 1986

možtu - přílohu! •  
(ještě potřebu!)

Vysoká škola: VŠST Liberec  
Katedra: technické kybernetiky

Fakulta: strojní  
Školní rok: 1985/86

# ZADÁNÍ DIPLOMOVÉ PRÁCE

(PROJEKTU, UMĚLECKÉHO DÍLA, UMĚLECKÉHO VÝKONU)

pro s. Pavla Tvrzníka  
obor 23-40-8 ASR výrobních procesů ve strojírenství

Vedoucí katedry Vám ve smyslu nařízení vlády ČSSR č. 90/1980 Sb., o státních závěrečných zkouškách a státních rigorózních zkouškách, určuje tuto diplomovou práci:

Název tématu: Algoritmus adaptivního regulátoru na mikropočítači  
SAPI 1

### Zásady pro vypracování:

1. V literatuře prestudujte problematiku číslicové a adaptivní číslicové regulace lineárních dynamických systémů.
2. Prestudujte ve výzkumné zprávě KTK-0115 algoritmus adaptivního číslicového regulátoru, který využívá dvuetapové metody identifikace systému v uzavřené regulační smyčce.
3. Dle pekynů vedoucího práce neprogramujte část algoritmu uvedeného adaptivního regulátoru na mikropočítači SAPI 1.
4. Současně s programem s dalšími programy, které poskytne vedoucí práce.

V 35/865

VYSOKÁ ŠKOLA STROJNÍ A TEXTILNÍ  
Ústřední knihovna  
LIBEREC 1, STUDENTSKÁ 5  
PSČ 461 17

KTK/ASR-5

Rozsah grafických prací:

Rozsah průvodní zprávy: 40 - 50 stran

Séznam odborné literatury:

- 1/ Hanuš, B. a kol.: Teorie automatického řízení I. Skripta VŠST Liberec, 1982.
- 2/ Hanuš, B., Balda, M. a kol.: Základy technické kybernetiky. Skripta VŠST Liberec, 1980.
- 3/ Janeček, B.: Návrh vhodných způsobů řízení vyššího typu, zvláště pak typu adaptivního pro energetické procesy. Výzkumná zpráva KTK-0115, VŠST Liberec, 1984.

Vedoucí diplomové práce: Ing. Bedřich Janeček

Datum zadání diplomové práce: 4.10.1985

Termín odevzdání diplomové práce: 23.5.1986



*[Signature]*  
Pref. Ing. Beránek Hanuš, DrSc.

*[Signature]*  
Doc. Ing. Ján Alaxin, CSc.

Vedoucí katedry

Děkan

v Liberci dne 30.9. 1985

"Místopřísežně prohlašuji, že jsem diplomovou práci  
vypracoval samostatně, s použitím uvedené literatury."

V Liberci, dne 23. května 1986

.....  
Václav H.

**Poděkování**

Děkuji svému vedoucímu diplomové práce a konzultantovi, Ing. Bedřichu Janečkovi CSc., pracovníkovi KTK VŠST Liberec, za odbornou pomoc, cenné rady a připomínky k diplomové práci.

## O B S A H

Úvodní list

Zadání diplomové práce

Místopřísežné prohlášení

Poděkování

Seznam příloh

Seznam použitých symbolů a zkratek

	Strana
1      Úvod	10
2      Uvedení do problematiky	11
3      Regulované soustavy s jednou vstupní a jednou výstupní veličinou	11
3.1     Měření výstupní a vytváření vstupní veličiny regulované soustavy	12
4      Popis činnosti spojité části impuls- ního regulačního obvodu	15
4.1     Popis regulované soustavy hodnotami váhové funkce	16
4.2     Popis regulované soustavy přenosem v Z-transformaci	16
4.3     Popis regulované soustavy diferenční rovnici	18
4.4     Stavový popis regulované soustavy	20
5      Adaptivní regulátor s identifikací váhové funkce	21
5.1     Popis regulačního obvodu	21
5.2     Identifikace váhové funkce	22
5.3     Návrh regulátoru	26
5.3.1    Návrh regulátoru na poruchy vstupující do regulačního obvodu filtrem s přeno- sem $\frac{H}{71-s/C}$	26
6      Popis systému SAPI 1	28

6.1	Blokové zapojení systému SAPI 1, dodávané výrobcem	28
6.2	Rozšíření systému SAPI 1 v podmín- kách katedry technické kybernetiky	31
6.3	Zkušenosti z práce se systémem SAPI 1	32
6.4	Použité programové vybavení	33
6.4.1	Systémové programové vybavení	34
6.4.2	Popis aritmetiky	36
7	Naprogramovaná část algoritmu iden- tifikace	37
7.1	Popis navržených programů	38
8	Popis použitých regulátorů, soustavy a filtru	41
8.1	Navržené regulátory použité k iden- tifikaci	41
8.2	Výpočet impulsního přenosu zvolených soustav	41
8.2.1	Stabilní soustava 1. řádu, bez dop- ravního zpoždění	43
8.2.2	Stabilní filtr 1. řádu, bez doprav- ního zpoždění	43
9	Regulátory použité k identifikaci	44
10	Zidentifikované a vypočtené hodnoty	44
11	Popis příloh	49
12	Závěr	49
	Literatura	51
	Přílohy	

Seznam příloh

Příloha číslo 1 : Výpis programu v ASSEMBLERu a překlad do strojového kódu mikroprocesoru 8080

Příloha číslo 2 : Průběh koeficientů polynomů  $B_1$ ,  $B_2$  a G , při identifikaci s regulátory  $R_{1w}$  a  $R_{2w}$ , při rychlém sledu poruch.

Příloha číslo 3 : Průběh koeficientů polynomů  $B_1$ ,  $B_2$  a G , při identifikaci s regulátory  $R_{1w}$  a  $R_{2w}$ , při pomalém sledu poruch.

Příloha číslo 4 : Průběh koeficientů polynomů  $B_1$ ,  $B_2$  a G , při identifikaci s regulátory  $R_{1f}$  a  $R_{2f}$ , při rychlém sledu poruch.

Příloha číslo 5 : Průběh koeficientů polynomů  $B_1$ ,  $B_2$  a G , při identifikaci s regulátory  $R_{1f}$  a  $R_{2f}$ , při pomalém sledu poruch.

### Seznam použitých symbolů a zkratek

$t_j$  ..... čas měření  
 $j$  ..... celé číslo, diskrétní čas  
 $\Delta T$  ..... perioda měření / vzorkování /  
 $y/t/$  ..... výstupní veličina soustavy, spojité funkce času  
 $y/j/$  ..... výstupní veličina soustavy, posloupnost čísel  
 $u/t/$  ..... akční veličina, spojité funkce času  
 $u/j/$  ..... " " , posloupnost čísel  
 $\Delta u/j/$  ..... přírůstek akční veličiny, posloupnost čísel  
 $d/t/$  ..... porucha, spojité funkce času  
 $d/j/$  ..... " , posloupnost čísel  
 $S$  ..... regulovaná soustava  
 $A/\check{C}$  ..... analogo-číslicový převodník  
 $\check{C}/A$  ..... číslico-analogový převodník  
 $R$  ..... regulátor  
 $g/t/$  ..... váhová funkce soustavy, spojité funkce času  
 $g/j/$  ..... " " " , posloupnost čísel  
 $k$  ..... diskrétní dopravní zpoždění  
 $Z[f/j/], F/z/$  ..... Z-transformace funkce  $f/j/$   
 $z, s$  ..... komplexní proměnné  
 $L[f/t/]$  ..... Laplaceova transformace funkce  $f/t/$   
 $p$  ..... Laplaceův operátor  
 $G/s/$  ..... impulsní přenos soustavy  
 $A/s/, B/s/$  ..... polynomy komplexní proměnné  $s$ , soustavy  $S$   
 $H/s/, C/s/$  ..... polynomy proměnné  $s$ , filtru  
 $G_e^2$  ..... rozptyl chyby predikce  
 $G_d^2$  ..... " diskrétního bílého šumu  
 $B/s/$  ..... predikovaný polynom  
 $N/s/, M/s/$  ..... polynomy proměnné  $s$ , regulátoru  $R$   
 $T_d$  ..... dopravní zpoždění  
 $q$  ..... kladný váhový koeficient

$G_y^2$ .....rozptyl vstupní veličiny  
 $G_u^2$ .....rozptyl akční veličiny  
G.....zidentifikované váhové funkce filtru  
 $e_i$ .....cyba predikce  
e.....základ přirozených logaritmů

## 1 Úvod

Nedávno konaný XVII. sjezd KSČ schválil velmi závažný dokument "Hlavní směry hospodářského a sociálního rozvoje ČSSR na léta 1986-1990 a výhled do roku 2000." Schválený dokument klade na strojírenství vysoké nároky. Zajištění vysokých požadavků není možné bez vzájemné součinnosti výzkumu a výroby. Zvláštní pozornost je také věnována elektronozaci a komplexní automatizaci průmyslových výrob.

Vysoké nároky, které jsou kladeny na přesnost a kvalitu výroby nemůže již v plném rozsahu zvládnout člověk, je nutné přecházet na automatickou kontrolu, ale i řízení výroby. Klasické spojité regulátory mohou vysoké požadavky splnit jen částečně. Vzhledem k bouřlivému rozvoji elektroniky a mikroelektroniky v posledních letech, je již možné nasazení vyšších řídících systémů přímo do výroby.

Řídicí minipočítače a mikropočítače jsou postupně zaváděny k řízení výroby i u nás. Výroba jednoho z možných řídících systémů se rozběhla v Tesle Liberec. Cena mikropočítacového systému je nesrovnatelně nižší, než třeba cena řídícího počítače RPP-16S, zanedbatelné nejsou ani daleko menší rozměry a nižší náročnost údržby.

V současné době již existují algoritmy adaptivního číslicového řízení, které je nutné ověřit při praktickém použití. Úkolem této práce je ověřit jednu z metod identifikace regulované soustavy, dvouetapovou identifikaci váhové funkce, a navrhnout pro soustavu optimální regulátor metodou dynamického programování.

Všechny algoritmy jsou naprogramovány na systému SAPI 1, přímo ve strojovém kódu počítače a ověřovány ve spojení s analogovým počítačem MEDA 43HA.

## 2 Uvedení do problematiky

Pod pojmem adaptivní způsob řízení chápeme řízení, které může splňovat vyšší požadavky na kvalitu a přizpůsobivost regulace, než mohou splnit klasické PID regulátory, jak spojité, tak modelované na číslicových regulačních prvcích.

Adaptivní regulační systémy provádějí počateční seřízení regulátoru v případě, že koeficienty regulované soustavy jsou kovstantní a neznámé. Nelze provádět průběžné seřizování regulátoru, jestliže se koeficienty regulované soustavy v čase mění. Zařízení provádějící vyšší způsob řízení, můžeme realizovat pomocí počítače / v našem případě SAPI 1 /. Počítač zde slouží jako řídící číslicový člen, který prostřednictvím číslico-analogového a analogo-číslicového převodníku je připojen k regulované soustavě, viz obr. 3.1-1. Řídící počítač je ve spojení s uvedenými převodníky schopen:

- a/ měřit zvolenou časovou periodou hodnoty výstupních veličin řízené / regulované / soustavy a ukládat je do paměti
- b/ provádět základní matematické operace / sčítání, násobení, dělení / o kterých můžeme říci, že se provádějí "přesně", bez zaokrouhlovacích chyb, o řídícím členu můžeme předpokládat, že není zdrojem náhodných chyb
- c/ vytvářet vstupní řídící veličiny regulované soustavy

Řízení realizované číslicovým řídícím členem / počítačem / se nazývá číslicové, diskrétní nebo impulsní.

### 3. Regulované soustavy s jednou vstupní a jednou výstupní veličinou

Výše uvedené soustavy se v technické praxi nazývají soustavami jednoparametrovými.

Výstupní veličinu z regulované soustavy budeme označovat  $y$ . Jelikož se při řízení / regulaci / její hodnota mění, nazývá se tato veličina veličinou regulovanou. Soustavu můžeme řídit tak, aby v ustáleném stavu byla regulovaná veličina rovna, nebo se blížila žádané hodnotě.

Vstupní veličinu do regulované soustavy budeme označovat  $u$ . Tuto veličinu nazýváme veličinou řídící, nebo též akční.

### 3.1 Měření výstupní a vytváření vstupní veličiny regulované soustavy

Předpokládáme, že výstupní veličinu regulované soustavy můžeme periodicky měřit v časech  $tj$ , které jsou celistvým násobkem periody měření / vzorkování /

$$tj = j \cdot \Delta T$$

/3.1-1/

kde  $tj$ .....čas měření

$j$ .....celé číslo

$\Delta T$ .....perioda měření / vzorkování /

Celé číslo  $j$  ve vztahu /3.1-1/ se též nazývá diskrétní čas, nebo pouze čas.

Měření výstupní veličiny regulované soustavy je technicky provedeno analogo-číslicovým převodníkem, jehož činnost můžeme popsat vztahem

$$y/tj = y/j \cdot \Delta T = y/j = \int_a^b y/t \cdot dt / t - j \cdot \Delta T , \text{ pro } j=0,1,2,3\dots$$

/3.1-2/

kde  $y/t$ .....spojitá funkce času

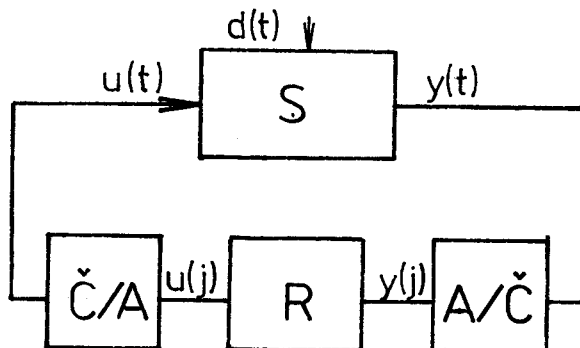
$/t - j \cdot \Delta T / \dots$  casově posunutá Dirackova funkce

$$/t - j \cdot \Delta T / = 0 \text{ pro } t \neq j \cdot \Delta T$$

$\langle a, b \rangle$  .....libovolný interval, který obsahuje bod  $j \cdot \Delta T$

Pro  $j=0,1,2,3\dots$  je  $y/j$  posloupností čísel.

Schema regulačního obvodu, ve kterém je prováděno měření výstupní veličiny regulované soustavy, tak jak je uvedeno v předchozím textu, je nakresleno na obr. 3.1-1:



OBR 3.1-1

kde S.....regulovaná soustava

A/Č.....analogo-číslicový převodník

R.....číslicový řídící člen / regulátor /

Č/A.....číslico-analogový převodník

d/t/.....poruchy

d/t/, u/t/, y/t/...funkce času

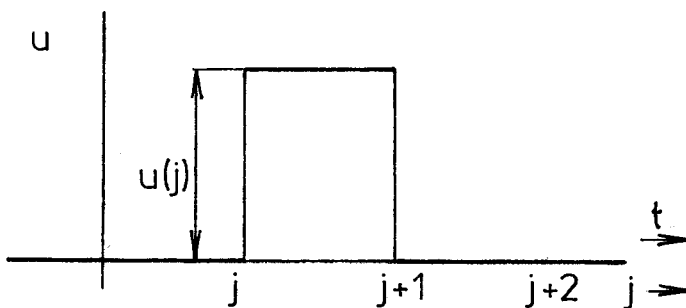
u/j/, y/j/...posloupnosti čísel

Zvýstupu číslicového řídícího členu vystupuje posloupnost čísel  $u/j/$ . Výstup z číslicového řídícího členu je připojen na číslico-analogový převodník, který pracuje jako paměť

$$u/t/ = u/j/ \quad \text{pro } t_j \leq t < t_{j+1}/$$

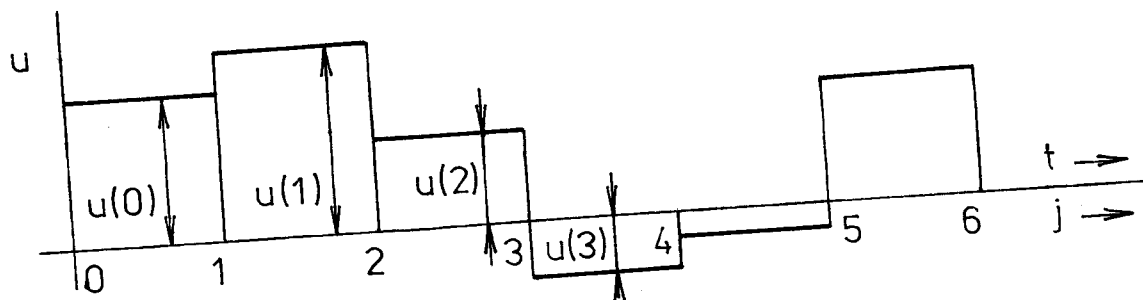
/3.1-3/

Na obrázku 3.1-2 je znázorněn výstup z číslico-analogového převodníku, když na jeho vstup přivedeme v čase  $t_j$  hodnotu  $u/j/$ , a  $u/k/ = 0$  pro  $k=j$ .



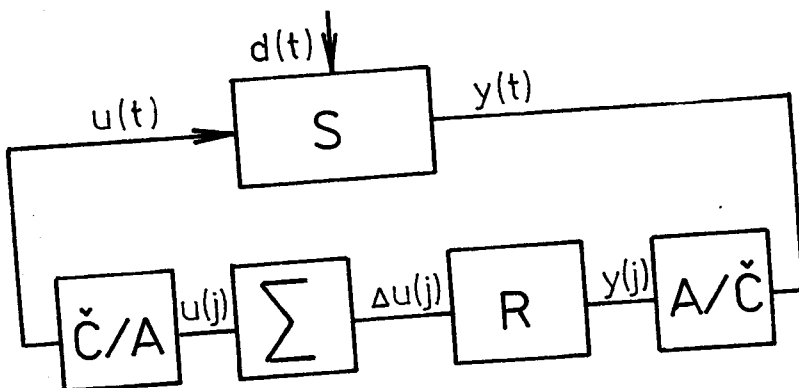
OBR 3.1-2

V případě, že  $u/j$  není pouze jedna hodnota, ale posloupnost hodnot, potom veličina  $u/t$  má průběh, který je znázorněn na obr. 3.1-3, potom veličinu  $u/t$  vytváříme složením časově posunutých průběhů / impulsů / z obr. 3.1-2.



OBR. 3.1-3

Do regulované soustavy mohou vstupovat poruchy, které mohou být měřitelné, nebo neměřitelné. V regulačním obvodu může být zadávána žádaná hodnota regulované veličiny. Zádánou hodnotu můžeme zahrnout mezi měřitelné pozuchy. Při návrhu impulsního regulátoru, který reguluje stabilní regulovanou soustavu, je při vstupu poruch s nenulovou střední hodnotou výhodné předpokládat, že číslicový řídící člen vytváří posloupnost čísel, která udávají přírůstky řídící veličiny. Blokové schema takového obvodu je na obr. 3.1-4



OBR. 3.1-4

kde S.....regulovaná soustava  
 Č/A.....anologo-číslicový převodník  
 A/Č.....analogo-číslicový převodník

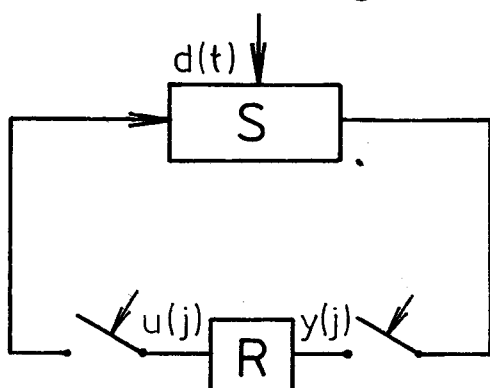
R.....číslicový řídící člen / regulátor /  
 $\sum$  .....sumátor  
 Č/A.....číslico-analogový převodník  
 d/t/.....poruchy  
 d/t/, u/t/, y/t/ ...funkce času  
 u/j/, u/j/, y/j/ ... posloupnosti čísel

#### 4 Popis činnosti spojité části impulsního regulačního obvodu

Uvažujme regulační obvod z obr. 4-1, kde místo převodníků jsou použity "ideální" spínače, které spínají s periodou T, přičemž doba sepnutí je "nekonečně" krátká. Tento regulační obvod rozpojíme. Posloupnost čísel  $y/j/$  je závislá na posloupnosti  $u/j/$ . Tuto závislost můžeme popsat:

- a/ použitím hodnot váhové funkce
- b/ přenosem v Z-transformaci
- c/ diferenční rovnicí
- d/ použitím symboliky stavového prostoru

Místo spojitá část impulsního regulačního obvodu používáme dále pouze název regulovaná soustava.



S...spojitá část impulsního regulačního obvodu / regulovaná soustava /  
 R...číslicový řídící člen / regulátor /  
 y/t/, d/t/...funkce času  
 u/j/, y/j/...posloupnosti čísel

OBR. 4-1

#### 4.1 Popis regulované soustavy hodnotami váhové funkce

Máme rozpojený regulační obvod z obr. 4-1 tak, že z něj vyjmeme číslicový řídící člen.

Nechť

$$u/j/ = \begin{cases} 0 & \text{pro } j \neq 0 \\ 1 & \text{pro } j=0 \end{cases} \quad y/j/ = 0 \quad \text{pro } j \leq 0 .$$

Můžeme tedy posloupnost  $y/j/$  nazvat váhovou funkcí a označit ji  $g/j/$ . Váhovou funkci  $g/j/$  regulované soustavy získáme z hodnot výstupní veličiny  $y/j/$  soustavy S, jestliže na její vstup přivedeme funkci, tzv. jednotkový impuls. Stejně získáme  $g/j/$  pro regulační obvod z obr. 3.1-4, jestliže na vstup regulované soustavy přivedeme funkci  $\gamma/t/$ .

Z vlastností lineární dynamické soustavy vyplývá, pokud uvažujeme  $u/j/$  jako posloupnost čísel,  $u/j/ = 0$  a  $y/j/ = 0$  pro  $j \leq 0$ , potom

$$y/k/ = \sum_{j=0}^k g/j/ \cdot u/k-j/ = \sum_{j=0}^k g/k-j/ \cdot u/j/ \quad \text{pro } k \geq 0$$

/4.1-1/

Vztah /4.1-1/ se nazývá konvolutorní součet.

#### 4.2 Popis regulované soustavy přenosem v Z-transformaci

Nechť  $j$  je celočíselná proměnná. Pro naše potřeby je  $f/j/$  reálná funkce proměnné  $j$ , dále řada

$$F/z/ = \sum_{j=0}^{\infty} f/j/ \cdot z^{-j} = Z [ f/j/ ] , \quad /4.2-1/$$

je konvergentní pro nějaké komplexní  $z_0$ ,  $|z_0| \neq 0$ . Pak

$F/z/$  nazýváme Z-transformací  $f/j/$ . Posloupnost  $f/j/$  nazýváme někdy předmětem a  $F/z/$  obrazem. Pro provádění zpětné Z-transformace používáme symbol

$$f/j/ = Z^{-1} [ F/z/ ] .$$

/4.2-2/

Řada /4.2-1/ vznikla z porovnání s Laplaceovou transformací spojité funkce. Pro popis regulovaných soustav a návrhy impulsních regulátorů zavádíme komplexní proměnnou

$$s = \frac{1}{z} = z^{-1},$$

můžeme tedy psát

$$F/s/ = \sum_{j=0}^{\infty} f/j/ \cdot s^j = Z [ f/j/ ] ,$$

/4.2-3/

$$f/j/ = Z^{-1} [ F/s/ ] .$$

/4.2-4/

Provedením Z-transformace  $y/k/$  ze vztahu /4.1-1/

$$Y/s/ = \sum_{k=0}^{\infty} y/k/ \cdot s^k = \sum_{k=0}^{\infty} \sum_{j=0}^k g/j/ \cdot u/k-j/ \cdot s^k , \quad /4.2-5/$$

rozepsáním

$$\begin{aligned} Y/s/ &= g/0/ \cdot u/0/ + \\ &+ [ g/0/ \cdot u/1/ + g/1/ \cdot u/0/ ] \cdot s \\ &+ [ g/0/ \cdot u/2/ + g/1/ \cdot u/1/ + g/2/ \cdot u/0/ ] \cdot s^2 + \dots = \\ &= u/0/ \cdot \sum_{j=0}^{\infty} g/j/ \cdot s^j + u/1/ \cdot s \sum_{j=0}^{\infty} g/j/ \cdot s^j + u/2/ \cdot s^2 \sum_{j=0}^{\infty} g/j/ \cdot s^j \\ &+ \dots \end{aligned}$$

potom

$$Y/s/ = \sum_{j=0}^{\infty} g/j/ \cdot s^j \sum_{k=0}^{\infty} u/k/ \cdot s^k = G/s/ \cdot U/s/ . \quad /4.2-6/$$

Z-transformace váhové funkce se nazývá impulsním přenosem regulované soustavy.

Známe-li přenos regulované soustavy, tedy L-transformaci váhové funkce, lze jednoduše určit impulsní přenos regulované soustavy

- 1/ provedeme rozklad přenosu regulované soustavy na částečné / parciální / zlomky
- 2/ ve slovníku Z-transformace nalezneme Z-transformace funkcí času, které vzniknou zpětnou L-transformací jednotlivých částečných zlomků.

Při uvedeném postupu využijeme lineární vlastnosti L-transformace a Z-transformace

$$L[f(t) + g(t)] = L[f(t)] + L[g(t)] \quad , \quad /4.2-7/$$

$$Z[f(t) + g(t)] = Z[f(t)] + Z[g(t)] \quad . \quad /4.2-8/$$

#### 4.3 Popis regulované soustavy diferenční rovnicí

Pro lineární dynamické soustavy je impulsní přenos racionální lomenou funkcí s reálnými koeficienty

$$G(s) = \frac{A(s)}{B(s)} \quad , \quad /4.3-1/$$

kde  $A(s)$  a  $B(s)$  jsou polynomy proměnné  $s$ ,  $s$  reálnými koeficienty, tedy

$$G(s) = \frac{a_0 + a_1 \cdot s + a_2 \cdot s^2 + \dots + a_m \cdot s^m}{b_0 + b_1 \cdot s + b_2 \cdot s^2 + \dots + b_m \cdot s^m} \quad , \quad /4.3-2/$$

kde  $m$  je stupeň polynomů  $A(s)$ ,  $B(s)$ . Některé koeficienty polynomů  $A(s)$  a  $B(s)$  mohou být i nulové, dále předpokládáme, že současně není  $a_m \neq 0$  a zároveň  $b_m \neq 0$ .

Lze dokázat, pokud  $a_0 \neq 0$ , potom  $b_0 \neq 0$

$$B/s/.Y/s/-A/s/.U/s=0 ,$$

/4.3-3/

po rozepsání

$$\begin{aligned} & /b_0+b_1 \cdot s+b_2 \cdot s^2+\dots+b_m \cdot s^m/. \sum_{j=0}^{\infty} y/j/.s^j - /a_0+a_1 \cdot s+a_2 \cdot s^2+ \\ & \dots+a_m \cdot s^m/. \sum_{j=0}^{\infty} u/j/.s^j = 0 , \end{aligned} \quad /4.3-4/$$

potom po úpravě je na levé straně rovnice nekonečná řada

$$c_0+c_1 \cdot s+c_2 \cdot s^2+\dots=0 . \quad /4.3-5/$$

Má-li být tato rovnost splněna pro libovolné  $s_0$ , kdy  
 $|s_0| \neq 0$ , musí platit  $c_0=0$ ,  $c_1=0$ ,  $c_2=0\dots$ . Tyto podmínky  
jsou splněny v případě, že  $u/j/$ ,  $y/j/$  pro  $j \geq 0$  vyhovují  
rovnici

$$\begin{aligned} & b_0 \cdot y/j/+b_1 y/j-1/+ \dots +b_m y/j-m/-a_0 \cdot u/j/-a_1 \cdot u/j-1/- \\ & \dots -a_m \cdot u/j-m=0 , \end{aligned} \quad /4.3-6/$$

při nulových počátečních podmínkách,  $u/j/ = 0$ ,  $y/j/ = 0$  pro  
 $j \leq 0$ . Rovnici /4.3-6/ nazýváme diferenční rovnici spojité  
části regulačního obvodu, neboť na rovnici, která bude  
obsahovat diference ji můžeme přepsat pomocí diferencí,  
které jsou:

$$\Delta y/j/ = y/j/-y/j-1/, \quad \Delta^2 y/j/ = \Delta y/j/-\Delta y/j-1/,$$

$$\Delta^3 y/j/ = \Delta^2 y/j/-\Delta^2 y/j-1/, \dots$$

Vdiferenční rovnici /4.3-6/ nazveme celé číslo  $m$   
řádem této diferenční rovnice.

#### 4.4 Stavový popis regulované soustavy

Můžeme předpokládat, že ve vztazích /4.3-4/, /4.3-6/ je koeficient  $a_0=0$  a  $b_0=1$ . Rovnost  $a_0$  znamená, že vliv řídící veličiny  $u/j-1/$  se projeví až na výstupní veličině  $y/j/$ . Rovnici /4.3-6/ můžeme potom přepsat do tvaru

$$y/j/ = -b_1 \cdot y/j-1/ - b_2 \cdot y/j-2/ - b_3 \cdot y/j-3/ - \dots - b_m \cdot y/j-m/ + \\ + a_1 \cdot u/j-1/ + a_2 \cdot u/j-2/ + \dots + a_m \cdot u/j-m/ . \quad /4.4-1/$$

Diferenční rovnice  $m$ -tého řádu /4.4-1/ je ekvivalentní soustavě diferenčních rovnic prvního řádu

$$\begin{array}{ll} x_1/j/ = -b_1 \cdot x_1/j-1/ + x_2/j-1/ & + a_1 \cdot u/j-1/ \\ x_2/j/ = -b_2 \cdot x_1/j-1/ & + x_3/j-1/ + a_2 \cdot u/j-1/ \\ x_3/j/ = -b_3 \cdot x_1/j-1/ & + x_4/j-1/ + a_3 \cdot u/j-1/ \\ \vdots & \\ x_m/j/ = -b_m \cdot x_1/j-1/ & + a_m \cdot u/j-1/ \\ y/j/ = x_1/j/ & . \end{array} \quad /4.4-2/$$

Rovnice /4.4-2/ přepíšeme do maticového tvaru

$$\underline{x}/j/ = \underline{A} \cdot \underline{x}/j-1/ + \underline{b} \cdot u/j-1/ ,$$

$$y/j/ = \underline{c}^T \cdot \underline{x}/j/ , \quad /4.4-3/$$

kde  $\underline{A}$  je matice a  $\underline{x}$ ,  $\underline{b}$ ,  $\underline{c}$  jsou vektory.

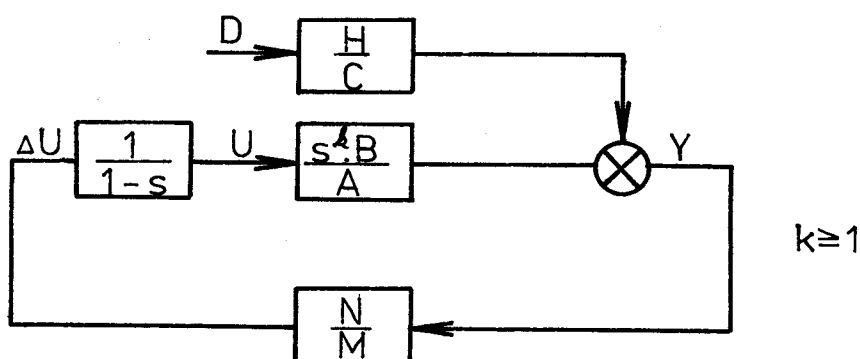
Popis chování regulované soustavy pomocí soustavy diferenčních rovnic prvního řádu /4.4-2/ a /4.4-3/ nazveme stavovým popisem regulované soustavy. Vektor  $\underline{x}/j/$  určuje jednoznačně stav soustavy v čase  $j$  a nazývá se stavovým vektorem.

## 5 Adaptivní regulátor s identifikací váhové funkce

Dále uvedený postup návrhu adaptivního regulátoru má výhodu v tom, že v případě časově neproměnné soustavy a filtru je po jednom "adaptačním" kroku regulátor optimálně seřízen na vstupující poruchy. Nevýhoda tohoto adaptivního regulátoru je v tom, že v identifikační části algoritmu je zapotřebí přepínat regulátory a identifikovat "velké množství" koeficientů váhové funkce.

### 5.1 Popis regulačního obvodu

Při návrhu adaptivního regulátoru budeme uvažovat regulační obvod viz obr. 5-1



OBR. 5-1

kde  $\frac{H}{C}$ .....filtr

$\frac{N}{M}$ .....regulátor

$\frac{s^k B}{A}$ .....regulovaná soustava

$\frac{1}{1-s}$ .....sumátor

$D$ .....poruchy

$Y$ .....regulovaná veličina

$\Delta U$ .....přírůstek akční veličiny

$U$ .....akční veličina

## 5.2 Identifikace váhové funkce

Uvažujeme prediktor - model soustavy, který je popsán rovnicí

$$\hat{Y} = s \cdot \hat{B} \cdot U$$

/5.2-1/

$$\hat{B} = \hat{b}_0 + \hat{b}_1 \cdot s + \hat{b}_2 \cdot s^2 + \dots + \hat{b}_{\lambda-1} \cdot s^{\lambda-1}$$

/5.2-1/ je Z-transformací diferenční rovnice

$$\hat{y}/j/ = \hat{b}_0 \cdot u/j-1/ + \hat{b}_1 \cdot u/j-2/ + \dots + \hat{b}_{\lambda-1} \cdot u/j-\lambda/ \quad /5.2-2/$$

$\hat{y}/j/$  je predikce / předpověď / hodnoty regulované veličiny y soustavy v čase j na základě znalosti hodnot vstupní veličiny u v časech j-1 až j- $\lambda$ .

Volíme  $\lambda$  jako "velké" číslo, polynom  $\hat{B}$  a koeficienty  $\hat{b}_0, \hat{b}_1, \dots, \hat{b}_{\lambda-1}$  nazveme váhovou funkcí modelu soustavy.

Chyba predikce  $e/j/ = y/j/ - \hat{y}/j/$ ,  $E = Y - \hat{Y}$ . Rovnici /5.2-1/ upravíme

$$E = Y - s \cdot \hat{B} \cdot U$$

/5.2-3/

/5.2-3/ je Z-transformací rovnice

$$e/j/ = y/j/ - \hat{b}_0 \cdot u/j-1/ - \hat{b}_1 \cdot u/j-2/ - \dots - \hat{b}_{\lambda-1} \cdot u/j-\lambda/ .$$

/5.2-4/

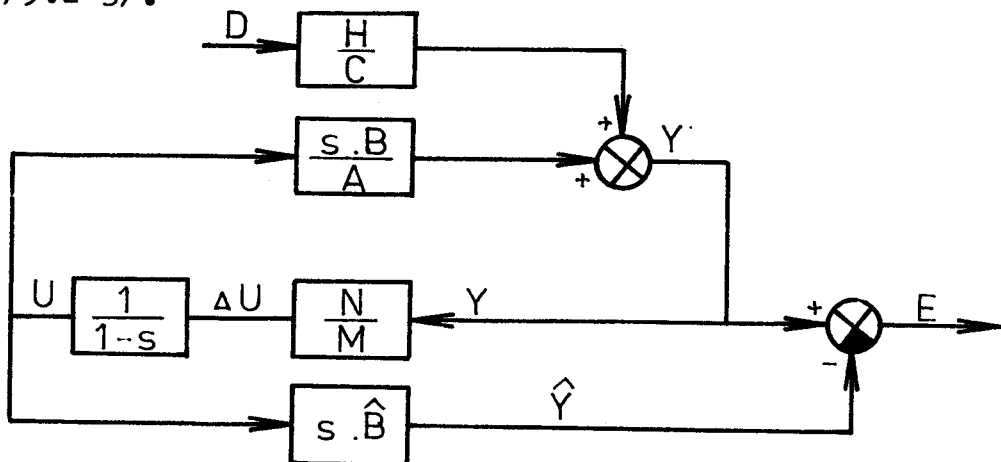
Koeficienty polynomu  $\hat{B}$  vypočteme metodou nejmenších čtverců, tak aby bylo minimalizováno kriterium

$$J = \frac{1}{2\mu+1} \cdot \sum_{j=\mu}^{\mu} e^2/j/ , \quad \mu \gg \lambda .$$

/5.2-5/

Při znalosti polynomů A, B, C, H, M, N je možno vypočítat řadu, ke které při identifikaci metodou nejmenších čtverců pro  $\mu \rightarrow \infty$  budou koeficienty polynomu  $\hat{B}$

konverguje, jestliže budeme zvyšovat stupeň tohoto polynomu. Provedme úvahu, která vede k výpočtu uvedené řady. Přikresleme do regulačního obvodu z obr. 5-1 rovnici /5.2-3/.



OBR. 5.2-1

Potom přenos

$$\frac{E}{D} = \frac{H \cdot \frac{N \cdot 1}{1 - s \cdot \hat{B} \cdot M \cdot (1-s)}}{\frac{1 - s \cdot \hat{B} \cdot N}{(1-s) \cdot A \cdot M}} \quad /5.2-6/$$

$$G = G/s = g/0/ + g/1/ \cdot s + g/2/ \cdot s^2 + \dots$$

Řada  $G$ , tedy posloupnost  $g/0/, g/1/, g/2/ \dots$ , je jednou z váhových funkcí obvodu z obr. 5.2-1.

Uvažujeme, že identifikujeme a minimalizujeme metódou kriterium

$$J = \lim_{\mu \rightarrow \infty} \frac{1}{2\mu+1} \cdot \sum_{j=\mu}^{\mu} e^2/j = G_e^2 \quad , \quad /5.2-7/$$

kde  $G_e^2$  je rozptyl chyby predikce.

Vztah /5.2-7/ lze dále upravit

$$J = G_e^2 = G_d^2 \cdot \sum_{j=0}^{\infty} g^2/j \quad , \quad /5.2-8/$$

kde  $G_d^2$  je rozptyl diskrétního bílého šumu,  $g/j/$  pro  $j \in \langle 0, \infty \rangle$  je váhová funkce, viz /5.2-ž/. Z posloupnosti  $g/j/$  je vytvořena řada, která je též nazývána váhovou funkcí. Změnou koeficientů polynomu  $\hat{B}$  se mění váhová funkce  $G$  a hodnota kritéria /5.2-8/. Změnou koeficientů

polynomu  $\hat{B}$  nezměníme vzhledem ke zpoždění hodnotu  $g/0/$ , viz /5.2-6/. Nalezneme-li tedy takový polynom, nebo řadu  $\hat{B}$  pro kterou

$$g/j=0 \quad \text{pro } j > 0 \quad , \quad /5.2-9/$$

nalezli jsme i minimum  $\sum_{j=0}^{\infty} g^2/j/$ , to znamená minimum kriteria /5.2-8/. Podmínu /5.2-9/ vyjádříme

$$G/s/-G/0/=0 \quad . \quad /5.2-10/$$

Uvažujeme-li, že absolutní členy polynomů A, C, H, M jsou rovny jedné, potom

$$G/0/=1 \quad , \quad /5.2-11/$$

dosazením /5.2-6/ a /5.2-11/ do /5.2-10/ a úpravou dostaneme

$$\frac{H}{C} = \frac{1-s\hat{B}}{1-\frac{s^k B}{(1-s)A}} \cdot \frac{N}{M} - 1 = 0 \quad ,$$

$$\hat{B} = \left(1 - \frac{C}{H}\right) \cdot \frac{(1-s)M}{s \cdot N} + \frac{s^{k-1} BC}{AH} \quad , \quad /5.2-12/$$

$$1 - \frac{C}{H} = \frac{H-C}{H} \quad , \quad \text{z rozdílu polynomů je možno vytknout } s.$$

Vysvětlemo si rovnici /5.2-12/. Budeme-li při identifikaci metodou nejmenších čtverců, viz /5.2-7/, zvyšovat stupeň polynomu B, budou koeficienty tohoto polynomu konvergovat ke koeficientům řady

$$\left(1 - \frac{C}{H}\right) \cdot \frac{M(1-s)}{s \cdot N} + \frac{s^{k-1} BC}{AH} \hat{=} \hat{B}^+ \quad . \quad /5.2-13/$$

Polynom  $H^+$  je stabilní a vypočteme ho z polynomu podle /1/.

Polynomy A a N uvažujeme jako stabilní. V /5.2-13/ zapíšeme

$$\hat{B}^+ = \hat{b}_0 + \hat{b}_1 \cdot s + \hat{b}_2 \cdot s^2 + \dots$$

Rovnici /5.2-13/ můžeme využít pro výpočet polynomů A, B, C a  $H^+$  na základě dvakrát provedené identifikace při dvou různých regulátorech, které jsou střídavě zapojeny v regulačním obvodu. Tímto způsobem získáme dvě řady,  $B_1$  a  $B_2$ .

$$\hat{B}_1 = \left(1 - \frac{C}{H^+}\right) \cdot \frac{M_1(1-s)}{s \cdot N_1} + \frac{s^{k_1} B \cdot C}{A H^+}, \quad /5.2-14/$$

$$\hat{B}_2 = \left(1 - \frac{C}{H^+}\right) \cdot \frac{M_2(1-s)}{s \cdot N_1} + \frac{s^{k_1} B \cdot C}{A H^+}. \quad /5.2-15/$$

Odečtením /5.2-15/ od /5.2-14/ a po úpravě získáme

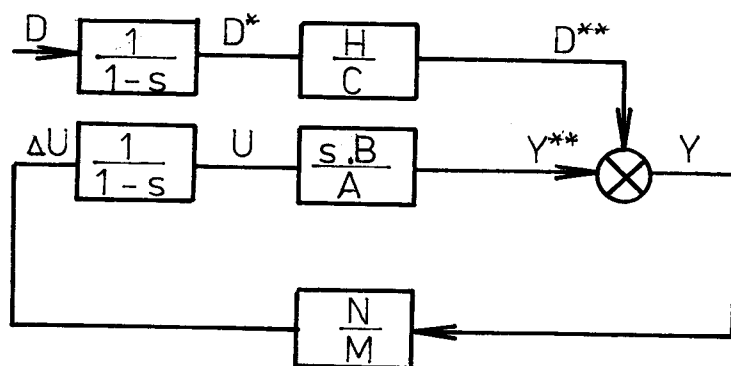
$$\frac{C}{H^+} = 1 - \frac{1}{(1-s)} \cdot \frac{s \cdot (\hat{B}_1 - \hat{B}_2) \cdot N_1 \cdot N_2}{M_1 \cdot N_2 - M_2 \cdot N_1} \stackrel{!}{=} G^* \quad . /5.2-16/$$

Dosazením identifikovaných polynomů  $\hat{B}_1$  a  $\hat{B}_2$  a známých polynomů regulátorů  $M_1$ ,  $N_1$  a  $M_2$ ,  $N_2$  vypočteme nejprve řadu  $G^*$ , viz /5.2-16/. Na základě znalosti řady  $G^*$  vypočteme metodou nejmenších čtverců polynomy C a  $H^+$ . Při znalosti polynomů C a  $H^+$ , respektive řady  $G^*$  a diskrétního zpoždění regulované soustavy, vypočteme řadu  $\frac{B}{A}$  z /5.2-14/ po identifikaci s prvním regulátorem a z /5.2-15/, po identifikaci s druhým regulátorem. Koeficienty první řady sečteme s příslušnými koeficienty druhé řady a výsledek dělíme dvěma. Z takto získané řady opět metodou nejmenších čtverců určíme polynomy A a B.

### 5.3 Návrh regulátoru

Po získání polynomů A, B, C, H<sup>+</sup> soustavy a filtru, můžeme metedou dynamického programování navrhnout difernční rovnici regulátoru.

#### 5.3.1 Návrh regulátoru na poruchy vstupující do regulačního obvodu filtrem s přenosem $\frac{H}{1-s/C}$



OBR. 5.3.1-1

V regulačním obvodu, viz obr. 5.3.1-1 je přenos soustavy a sumátoru  $\frac{Y^{**}}{\Delta U} = \frac{s.B}{1-s/A}$ , přenos filtru a sumátoru je  $\frac{D^{**}}{D} = \frac{H}{1-s/C}$ .

Pro soustavu a filtr z obr. 5.3.1-1 platí

$$Y = \frac{s.B}{1-s/A} \cdot \Delta U + \frac{H}{1-s/C} \cdot D , \quad /5.3.1-1/$$

$$/1-s/A.C.Y = s.B.C.\Delta U + A.H.D . \quad /5.3.1-2/$$

Přepis rovnice /5.3.1-1/ na rovnici /5.3.1-2/ provedeme za předpokladu, že polynomy A a C jsou nesoudělné.

Uvažujeme soustavu, která je popsána rovnicí

$$/1-s/A.C.Y = c.B.C.\Delta U$$

$$/5.3.1-3/$$

Základní myšlenka návrhu regulátoru spočívá v tom, že navržený regulátor zajišťuje stabilitu navrženého regulačního obvodu. V součinu impulsních přenosů soustavy a regulátoru a například v impulsním přenosu  $\frac{Y}{D}$ , uzavřeného regulačního obvodu, nedochází ke krácení nestabilních polynomů.

Regulátor navrheme pro soustavu a filtr, které jsou popsány rovnicí

$$(1-s) \cdot A \cdot C \cdot Y = s \cdot B \cdot C \cdot U + A \cdot H^+ \cdot D \quad . \quad /5.3.1-4/$$

Polynom A uvažujeme stabilní.

Navržený regulátor zapojíme do uzavřeného regulačního obvodu, viz. obr. 5.3.1-1. Podle /1/ lze odvodit diferenční rovnici regulátoru. Z-transformace této diferenční rovnice má tvar

$$M^{**} \cdot \Delta U = N^{**} \cdot Y + P^* \cdot D \quad , \quad /5.3.1-5/$$

kde pro danou soustavu

$$\begin{aligned} A &= 1 + a_1 \cdot s + a_2 \cdot s^2 + \dots + a_n \cdot s^n \\ B &= b_0 + b_1 \cdot s + b_2 \cdot s^2 + \dots + b_n \cdot s^n \\ C &= 1 + c_1 \cdot s + c_2 \cdot s^2 + \dots + c_{n-1} \cdot s^{n-1} \\ H &= 1 + h_1 \cdot s + h_2 \cdot s^2 + \dots + h_{n-1} \cdot s^{n-1} \end{aligned}$$

jsou polynomy

$$\begin{aligned} M^{**} &= 1 + m_1 \cdot s + m_2 \cdot s^2 + \dots + m_{n+1} \cdot s^{n+1} \\ N^{**} &= n_0 + n_1 \cdot s + n_2 \cdot s^2 + \dots + n_{n+1} \cdot s^{n+1} \\ P^* &= p_0 + p_1 \cdot s + p_2 \cdot s^2 + \dots + p_n \cdot s^n \end{aligned}$$

Ze vztahu /5.3.1-4/ vypočteme D a dosadíme do /5.3.1-5/, potom dostaneme

$$M^{**} \Delta U = N^{**} Y + P^* \frac{(1-s) \cdot A \cdot C \cdot Y - s \cdot B \cdot C \cdot \Delta U}{A \cdot H^+} \quad ,$$

po úpravě dostaneme

$$\frac{A \cdot H^+ \cdot M'' + s \cdot B \cdot C \cdot P''}{\Delta U} = [ A \cdot H^+ \cdot N'' + \frac{1-s}{A \cdot C \cdot P''} ] \cdot Y$$

/5.3.1-6/

Regulátor popsáný diferenční rovnicí /5.3.1-6/, vyreguluje optimálně, vzhledem ke zvolenému kvadratickému kritériu, poruchu D, která vstupuje do regulačního obvodu filtrem s přenosem  $\frac{H}{1-s/C}$ , viz obr. 5.3.1-1.

## 6 Popis systému SAPI 1

Mikropočítacový systém SAPI 1 je určen pro všeobecné použití, patří do kategorie malých stavebnicových systémů. Základem systému je mikropočítac JPR-1, který může pracovat sam bez podpory dalších desek a dílů SAPI 1.

Mikropočítac je určen pro nejjednodušší aplikace. Pro svoji funkci potřebuje pouze napájení. Mikropočítac JPR-1 může řídit stroj, přístroj, může dopomoci k vyšší inteligenci třeba psacímu stroji, nebo terminálu. Nestačí-li na aplikaci samostatná deska mikropočítace JPR-1, může být použito k dalšímu doplnění dílů systému SAPI 1.

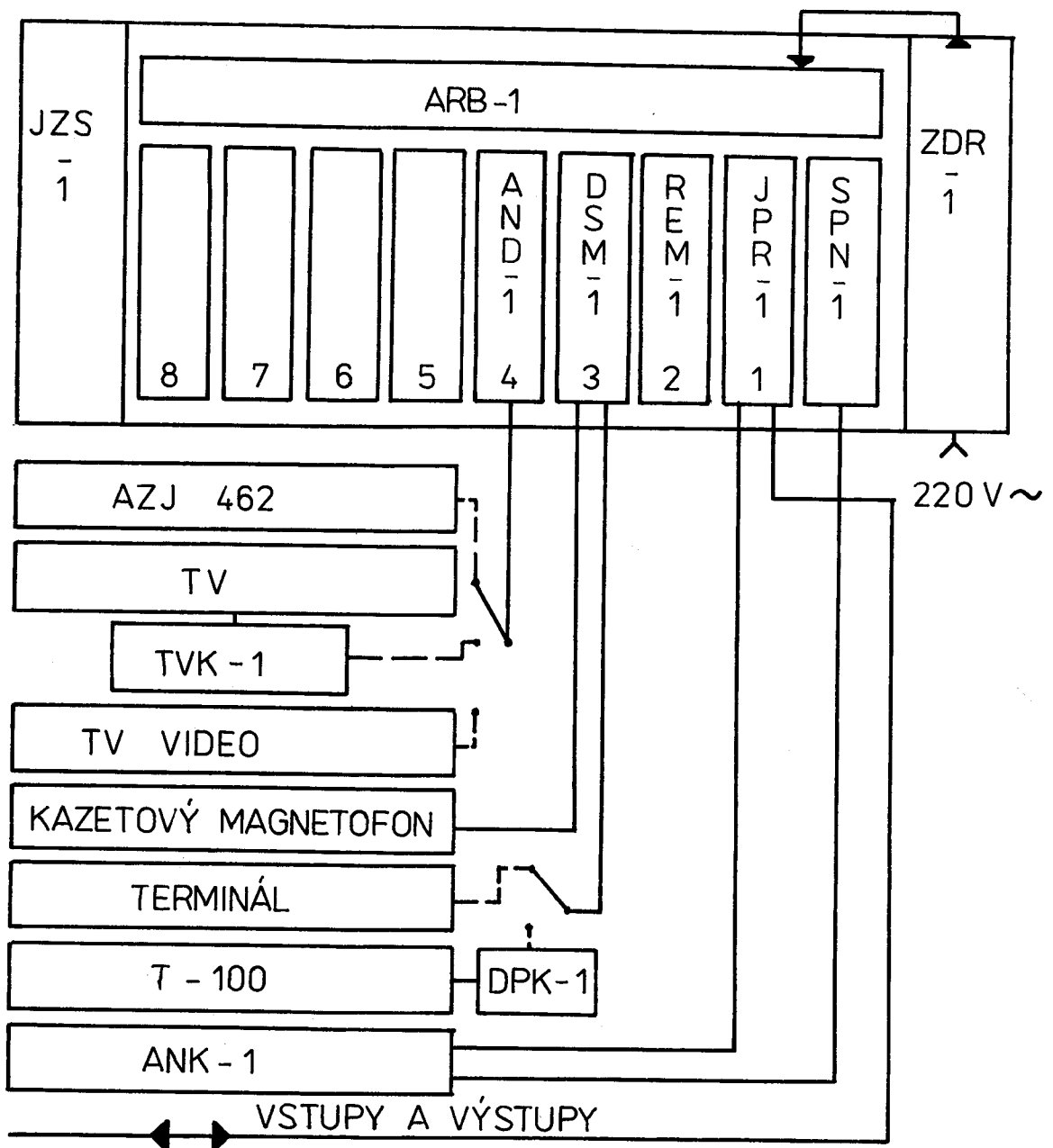
Základní idea systému je jednoduchá: "Dát uživateli malý stavebnicový systém z našich součástek, jehož parametry umožňují jeho použití v maximálním množství, zejména v průmyslových aplikacích.

### 6.1 Blokové zapojení systému SAPI 1, dodávané výrobcem

Výrobce dodává systém v základní sestavě s možností připojení klávesnice ANK-1, kazetového magnetofonu,

terminálu či tiskárny. Systém SAPI 1 může použít jako zobrazovací jednotku upravený televizor, televizor s připojeným konvertorem, nebo zobrazovací jednotku Tesly Orava typu AZJ-462.

Blokové zapojení:



OBR. 6.1-1

Jednotka zdroje a sběrnice JZS-1 tvoří mechanický základ systému SAPI 1. Jednotka je realizována jako zásvný rám. Do rámu je umístěn zdroj napětí, ZDR-1 a sběrnice systému ARB-1, propojené se zdrojem napájecím kabelem.

Deska JPR-1 je jednodeskový mikropočítáč na bázi mikroprocesoru MHB 8080A, má základní procesor, tvořený mikroprocesorem a jeho podpůrnými obvody. Na desce je dále paměť RAM a EPROM. Součástí desky jsou 3 osmibitové vstupy a 3 osmibitové výstupy, celkem 24 vstupů a 24 výstupů.

Deska AND-1 je řešena jako video RAM s kapacitou 1 k byte paměti, což umožňuje, na stínítku displeje zobrazovací jednotky, zobrazit 40 znaků v řádce a 24 řádek, což je celkem 960 znaků. Deska umožňuje připojení zobrazovací jednotky AZJ 462, nebo připojení TV přijímače se standardně vyvedeným videovstupem. Neupravený TV přijímač musí být připojen prostřednictvím konvertoru TVK-1.

Klávesnice ANK-1 slouží pro vstup dat do systému SAPI 1. Klávesnice je membránová. Místo této klávesnice lze připojit k počítači klávesnici CONSUL 259.11. Klávesnice jsou napájeny ze systémového panelu SPN-1, který umožňuje napájet až čtyři přídavná zařízení systému napětím +5 a +12V, dále dovoluje vstup externího signálu RESET do systému.

Základní kapacitu paměti RAM a EPROM je možné rozšířit použitím desky REM-1.

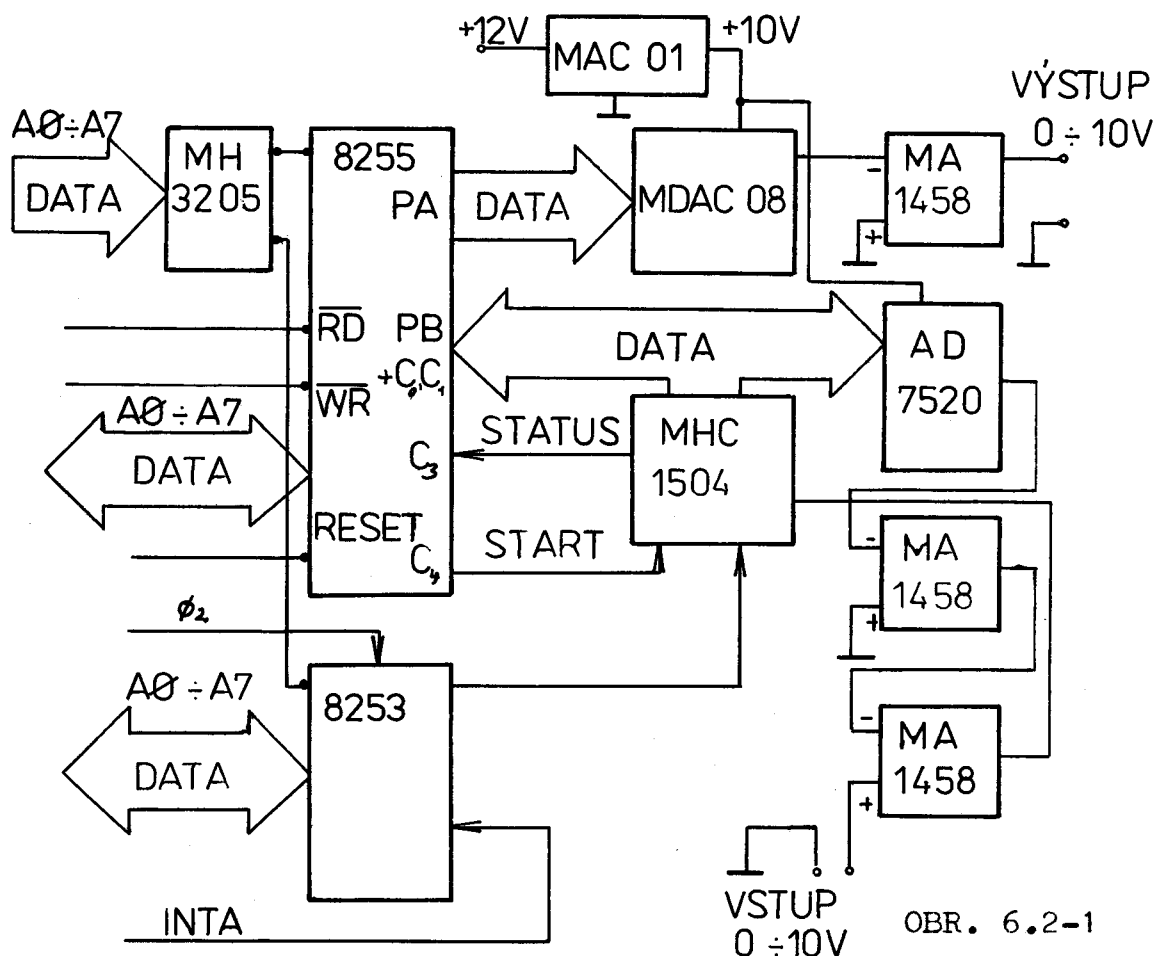
Pro připojení kazetového magnetofonu a terminálu je použita deska DSM-1, při připojení konvertoru DPK-1 lze místo terminálu použít dálnopisný stroj, například T100. Deska DSM-1 je také vybavena spínacím relé, kterým je možné ovládat rozběh a zastavení magnetofonu, ten musí být ale patřičně upraven.

Výrobce dodává k systému kazetový magnetofon K-10, který je již upraven pro externí ovládání.

## 6.2 Rozšíření systému SAPI 1 v podmírkách katedry technické kybernetiky

Přestože výrobce inzeruje systém, jako řídící mikropočítač, není vybaven vstupními a výstupními převodníky. Převodníky nejsou dodávány ani jako příslušenství. Nezbylo nám nic jiného, než převodníky zhotovit na katedře technické kybernetiky.

Základ převodníků tvoří obvod výstupních a vstupních portů MH 8255, dále osmibitový výstupní převodník MCAC 08 a desetibitový převodník AD 7520, který je využit jako vstupní. Deska převodníků je ještě osazena podpůrnými obvody, viz obr. 6.2-1 .



OBR. 6.2-1

8255....obvod vstupních a výstupních portů  
8253....časovací obvod  
**MH3205..**dekodér adresy  
**MHC1504.**aproximační registr  
AD7520..Č/A desetibitový převodník, zapojen pro  
vstup  
MDAC08..Č/A osmibitový převodník, zapojen pro výstup  
MAC01...přesný zdroj napětí +10V  
MA1458.. operační zesilovač  
STATUS..signál ukončení převodu, převod ukončen  
pro STATUS=0  
START...signál pro zahájení převodu

Převodníky jsou sestaveny na desce BDK-1, která je zasunuta do jednotky zdroje a sběrnice JZS-1.

Námi používaný systém SAPI 1 má paměť rozšířenou na plných 64 k byte. Místo desky REM-1 je použita deska RAM-1, která má kapacitu 48 k byte paměti RAM, zbývajících 16 k byte je využito pro paměti EPROM i RAM.

Vstupní a výstupní zařízení námi používané, se liší od typů doporučených výrobcem. Tiskárnu jsme použili DZM 180, polské výroby, děrovač děrné pásky DT 105S, též polský a snímač děrné pásky FS 1501 naší výroby.

Zhotovené programy jsme nahrávali na kazetový magnetofon K-10, který dodává výrobce systému, časem jsme jej nahradili stereofonním kazetovým magnetofonem M 710A.

### 6.3 Zkušenosti z práce se systémem SAPI 1

Systém má sloužit převážně v průmyslových aplikacích, tomu odpovídá celková robustnost jednotky zdroje a sběrnice /vany/, ta však kontrastuje s konstrukcí klá-

vesnice. Klávesnice je membránová, a poměrně malá, při delším používání dochází k jejímu promačkání, zvláště u často používaných "tlačítek". Promačknutí způsobí, že "tlačítka" zůstane "viset" a velmi obtížně se odblokává. Dalším nedostatkem je malý zdvih "tlačítka", činí asi 0.2 mm, což ze začátku působí nepříjemně, ale po delším užívání si uživatel zvykne.

Největší potíže, které se vyskytly, byly s použitím kazetového magnetofonu, jako výstupního zařízení. Celé řešení, s použitím kazetového magnetofonu K-10, se jeví jako zcela nevhodné a provizorní. Při nahrávání delších souborů do počítače docházelo velmi často k chybám, nebo se program vůbec nenahrál, celá práce se pak komplikovala a zbytečně prodlužovala. Jisté zlepšení nastalo při použití stereofonního magnetofonu M 710A, který však nemá hlasitý příposlech, což poněkud ztížilo vyhledávání programů na kazetě.

Námi používané kazety EMGETON jsou pro použití v číslicové technice naprosto nevhodné, při dlouhodobějším používání dochází velmi brzo k jejich opotřebení a zřejmě ke vzniku hluchých míst, na kterých dochází ke ztrátám bitů. Ztráta bitů a nízká kvalita magnetofonu nám působily při práci velké potíže.

Závěrem můžeme říci, že při použití klávesnice CONSUL, kvalitního záznamového zařízení a záznamového materiálu, splní systém SAPI 1 všechny požadavky na jednoduchý a laciný systém pro číslicové řízení.

#### 6.4 Použité programové vybavení

V následujících částech je popsáno použité programové vybavení systému SAPI 1. Vybavení můžeme rozdělit

na systémové, tedy pomocné programy sloužící k ladění, spouštění programů a podobně, a na programy, které umožňují provádění výpočtů v ASSEMBLERu, tedy aritmetiku.

#### 6.4.1 Systémové programové vybavení

Počítač je standartně vybaven překladačem MICROBASIC, který je nahrán v paměti EPROM. Použití MICROBASICu v číslicovém řízení je prakticky nemožné. Číslicové řízení vyžaduje, aby řízení pracovalo v "reálném čase", tedy aby výpočty proběhly co nejrychleji. BASIC je velmi pomalý, natož MICROBASIC, který ještě počítá pouze s celými čísly a nejvýše do 255. Jediné možné řešení, které dovoluje splnit časové požadavky číslicového řízení, je, všechny programy realizovat ve strojovém kódu mikroprocesoru MHB 8080A /INTEL 8080/.

Programové vybavení MONITOR, které je také nahráno v paměti EPROM se dá použít pro programování ve strojovém kódu. MONITOR dále umožňuje "listování" strojovým programem, spuštění programu od určité adresy a podobně.

Jak jsem se již zmínil, je kapacita paměti námi použitého systému 64 k byte. Příkaz LOAD, jenž je součástí MICROBASICu umožňuje nahrávat programy do počítače pouze do adresy 7FFF. Zmíněná nevýhoda byla odstraněna použitím systémového programu HELP. Program HELP je uložen v jednom k byte paměti EPROM a spouští se od adresy 1000. Programem lze nahrávat z libovolného místa v paměti a lze do libovolného místa také nahrávat, mimo jiné lze s jeho pomocí programy spouštět, zapisovat, přesouvat a jiné.

Programování ve strojovém kódu je velmi obtížné, zvláště spuštění neodladěného programu s sebou přináší určité riziko. Přímé spuštění neodladěného programu téměř

vždy znamená nekontrolovatelný chod počítače a následnou havárii. Žádný z uvedených programů neumožňuje krokování programu instrukci po instrukci. Ladění programů bylo prakticky nemožné, proto byl použit program DDT-602.

Program DDT-602 je velmi výhodný pro zápis programu přímo v ASSEMBLERu. Při zapisování programu do paměti počítače, je na obrazovce zobrazeno 16 řádků. Řádek se skládá z adresy v paměti, instrukce ve strojovém kódu a jejího zápisu v ASSEMBLERu, u instrukcí používajících v ASSEMBLERu pseudo adresu, je nutné zapisovat zde přímo skutečnou adresu v hexadecimálním kódu.

Mimo přímého zápisu instrukcí lze vypsat obsah paměti v hexadecimálním kódu. Jakým-koliv výpisem na obrazovce lze libovolně "listovat" a kurzorem je možné pohybovat všemi směry.

Po celou dobu chodu programu DDT-602 jsou v dolní části obrazovky vypsány obsahy všech registrů mikroprocesoru, dále instrukce na adresu, na kterou ukazuje PC registr.

Výraznou předností tohoto programu, je možnost krokovat sestavený program instrukci po instrukci, nebo je možné provést několik instrukcí najednou, což umožňuje snadnější nalezení chyby v laděném programu.

Mimo uvedené příkazy, obsahuje program DDT-602 ještě další zajíkavé příkazy, například přesun programů v paměti, porovnávání určitých oblastí v paměti, možnost nastavení několika adres aktuálního zastavení běžícího programu a podobně.

Program DDT-602 je i přes svou jednoduchost mocný prostředek, který značně ulehčuje práci při sestavování a ladění programů v ASSEMBLERu či ve strojovém kódu.

Program DDT-602 se musel před zahájením práce

s počítačem znovu nahrát do paměti počítače. Délka programu je 8 k byte paměti, a to způsobovalo mnohdy potíže, o kterých je zmínka v kapitole 6.3 .

#### 6.4.2 Popis aritmetiky

Aritmetika a soubor ostatních podprogramů umožňuje provádět přímo v ASSEMBLERu všechny matematické operace s čísly s pohyblivou řádovou čárkou / FLOUTING /, nebo s celými čísly / INTEGER /. Číslo typu FLOUTING je uloženo na třech bytech a typu INTEGER na dvou bytech.

Soubor podprogramů dále dovoluje vstup čísel z klávesnice, výstupy čísel, nebo textů na obrazovku, posun kurzoru, mazání obrazovky, převody mezi typy čísel a podobně.

Podprogramy umožňují práci se dvěma operandy, X a Y. Pro každou matematickou operaci je nutné číslo přesunout do registrů mikroprocesoru. Registry D, E, B slouží ke zobrazení operandu X a H, L, A operandu Y. Mantisy jsou pak uloženy v DE a HL, exponenty v A, nebo B.

Pro větší přehlednost a snadnější pochopení algoritmu, viz příloha 1, jejíž popis je proveden v kapitole 7.1 , uvádím přehled nejčastěji používaných podprogramů aritmetiky a podprogramů výstupů, s udáním adresy spouštění.

##### Aritmetika:

název	provede	adresa
FTSBY	X=X-Y	4400H
FTSBX	X=Y-X	4404H
FTADD	X=X+Y	440EH
FTMUL	X=X.Y	445FH
FTDYX	X=Y/X	44C5H
FTSQX	X=X <sup>2</sup>	4585H

FTSQY	$X=Y^2$	4587H
FTSRX	$X=\sqrt{X}$	459EH
FTSRY	$X=\sqrt{Y}$	459CH
FTRSX	$X=1/X$	4613H
FTRCY	$X=1/Y$	4618H

#### Výstupy a vstupy:

název	provede	adresa
IDHWX	vstup INTEGER do DE	49F9H
IDFTX	vstup FLOUTING do DEB	4A1EH
ODHWX	výstup INTEGER z DE	489AH
ODFTX	výstup FLOUTING z DEB	48B5H
CTVE	vstup vektoru do paměti	5311H
CY504	výstup vektoru z paměti	522FH
OABLK	posun kurzoru o 1 pozici	4846H
NULDIS	mazání displeje	0CF4H
OASNP	výstup textu	4824H

#### Přesuny v paměti:

název	provede	adresa
FTLXH	z adresy v HL uloží číslo do DEB	4696H
FTLYH	z adresy v HL uloží číslo do HLA	499DH
FTSXH	uloží obsah DEB na adresu v HL	46A4H

#### 7 Naprogramovaná část algoritmu identifikace

Sestavil jsem program, který připravuje data pro program metody nejmenších čtverců / LDFT / a program, který počítá ze vztahu /5.2-14/ a /5.2-15/, při známém  $\hat{B}_1$  a  $\hat{B}_2$ ,  $A$ , s prvním regulátorem a s druhým regulátorem.

## 7.1 Popis navržených programů

Program připravující data pro metodu nejmenších čtverců / LDFT /, je v příloze 1 od adresy D040. Metodu nejmenších čtverců zde používám k výpočtu koeficintů čitatele a jmenovatele, znám-li jejich podíl ve formě konečného polynomu.

Odvození struktury programu je provedeno na příkladu, kde stupně polynomů C a H jsou rovny 2.

$$\frac{1+c_1 \cdot s + c_2 \cdot s^2}{1+h_1 \cdot s + h_2 \cdot s^2} = 1+g_1 \cdot s + g_2 \cdot s^2 + \dots . \quad /7.1-1/$$

Vynásobením jmenovatelem získáme

$$1+c_1 \cdot s + c_2 \cdot s^2 = (1+g_1 \cdot s + g_2 \cdot s^2 + \dots) \cdot (1+h_1 \cdot s + h_2 \cdot s^2), \\ h_1 \cdot s \quad h_1 g_1 \cdot s^2 \quad \dots \\ h_2 \cdot s^2 \quad \dots \quad /7.1-2/$$

při konečné délce polynomu G, lze /7.1-2/ přepsat do soustavy rovnic, kde k je stupeň polynomu G.

$$\begin{aligned} c_1 &= g_1 + h_1 & +e_1 \\ c_2 &= g_2 + h_1 \cdot g_1 + h_2 & +e_2 \\ 0 &= g_3 + h_1 \cdot g_2 + h_2 \cdot g_1 & +e_3 \\ &\vdots \\ &\vdots \\ &\vdots \\ 0 &= g_k + h_1 \cdot g_{k-1} + h_2 \cdot g_{k-2} + e_k , \end{aligned} \quad /7.1-3/$$

kde  $e_i$  je chyba, kterou se snažíme minimalizovat. Po anulování levých stran dostaneme

$$\begin{aligned} 0 &= g_1 - 1 \cdot c_1 & +h_1 & +e_1 \\ &\vdots \\ 0 &= g_k + 0 \cdot c_1 + 0 \cdot c_2 + g_{k-1} \cdot h_1 + g_{k-2} \cdot h_2 + e_k . \end{aligned} \quad /7.1-4/$$

Rovnice /7.1-3/ lze řešit metodou nejmenších čtverců  
 / neznámé jsou  $c_i$  a  $h_i$  /, ale v této podobě se ještě nehodí pro řešení v programu LDFT, koeficienty přerovnáme,

$$\begin{array}{ccccccc}
 g_1 & 1 & 0 & 0 & -1 & 0 & 0 \\
 g_2 & g_1 & 1 & 0 & 0 & -1 & 0 \\
 g_3 & g_2 & g_1 & 1 & 0 & 0 & -1 \\
 g_4 & g_3 & g_2 & g_1 & 0 & 0 & 0 \\
 g_5 & g_4 & g_3 & g_2 & 0 & 0 & 0 \\
 \cdot & & & & & & \\
 \cdot & & & & & & \\
 \cdot & & & & & & \\
 g_k & g_{k-1} & g_{k-2} & g_{k-3} & 0 & 0 & 0
 \end{array} \quad . \quad /7.1-5/$$

Celý výpočet koeficientů čitatele a jmenovatele proběhne k-krát, při prvním výpočtu vstupuje do LDFT první řádek z /7.1-5/, při druhém, data ze druhého řádku a tak dále.

Program přípravy dat pro zpracování v LDFT nejprve vyžádá "Počet identifikovaných členů", tedy počet koeficientů čitatele a jmenovatele. Průběh polynomu G se zobrazí na obrazovce, potom dochází k vytváření prvního řádku dat. Druhý řádek a další řádky jsou vytvářeny posunem prvků po řádku, případně nulováním řádku.

Druhý hlavní program, který jsem sestavil, počítá střední hodnotu podílu  $\frac{B}{A}$ , vyjádřeného ze vztahu /5.2-14/, nebo /5.2-15/,

$$S^{A-1} \cdot \frac{B}{A} = \frac{\hat{B} + (G^*-1) \cdot \frac{M(1-S)}{S \cdot N}}{G^*} \quad /7.1-5/$$

Výpočet proběhne 2-krát, nejprve s prvním regulátorem a tomu odpovídajícímu  $\hat{B}_1$ , po druhé s regulátorem dvě

a tomu odpovídajícímu  $\hat{B}_2$ .

Program lze odstartovat od adresy D5E4, potom je nutné zadat všechny potřebné hodnoty k výpočtu z klávesnice, toto spouštění bylo používáno pouze pro ladící příklad.

Program je po skončení identifikace polynomů  $\hat{B}_1$  a  $\hat{B}_2$  a po skončení výpočtu polynomu  $G^*$  / výpočet  $\hat{B}_1$ ,  $\hat{B}_2$  a  $G^*$  je předmětem jiné diplomové práce / spouštěn od adresy D5E7. Po odstartování dojde k přesunu všech polynomů potřebných k výpočtu, na pracovní polohy, viz příloha 1, aby nedošlo k jejich znehodnosení výpočtem. Polynom M regulátoru je při přesunu násoben /1-s/. Program dále pokračuje prvním výpočtem zlomku / CALL ZLOM /. Celý výpočet se opakuje ještě jednou, ale na pracovní polohy jsou přesunuty všechny polynomy z "druhé identifikace". Druhý výpočet je ukončen skokem na adresu D390, kde program pokračuje výpočtem aritmetického průměru obou vypočtených polynomů, výsledek se zobrazí na obrazovce. Celý výpočet pokračuje voláním programu přípravy dat pro LDFT, který, jak už bylo řečeno, zobrazí na obrazovku průběh vypočteného polynomu. Výpočet končí vypočtením koeficientů čitatele a jmenovatele, tedy polynomů soustavy A a B.

Mimo výše uvedených stěžejních programů jsem sesťavil další pomocné podprogramy, které zjednodušily práci s vektory a podobně.

Podprogram součtu vektorů sčítá dva vektory, mohou být i rozdílné délky. Výsledek ukládá na předem určené místo v paměti.

Podprogram hledání minima a maxima z řady prvků. Tento program nalezne adresy maximálního a minimálního prvku.

Mohl bych zde ještě uvést program tisku grafu, který je využíván v programu přípravy dat pro LDFT, dále program přesunu vektorů v paměti počítače na předem určenou polohu, nebo podprogramy pro vystup textu a jiné.

## 8 Popis použitých regulátorů, soustavy a filtru

### 8.1 Navržené regulátory použité k identifikaci

Algoritmus identifikace byl ověřován na systému SAPI 1, ve spojení s analogovým počítačem MEDA 43HA. Na analogovém počítači byla namodelována soustava prvního řádu s přenosem  $\frac{B}{A}$  a filtr s přenosem  $\frac{H}{C}$ .

Identifikace byla provedena pomocí dvou dvojic regulátorů, které byly navrženy pro danou soustavu pomocí programu, který byl dán k dispozici vedoucím práce. Program provádí identifikaci regresního přírůstkového modelu soustavy, po identifikaci soustavy je navržen optimální regulátor metodou dynamického programování.

Pro naši soustavu jsme navrhli, výše uvedenou metodou, čtyři regulátory. První dvojice regulátorů je navržena pro optimální vyregulování poruchy žádané veličiny. Druhá dvojice je navržena pro optimální vyregulování poruchy vstupující na výstup soustavy filtrem. Regulátory se od sebe ve dvojicích liší tím, že při jejich výpočtu bylo použito u každého jiné konstanty  $q$ , v kvadratickém kritériu, která ovlivňuje rychlosť vyregulování poruchy.

### 8.2 Výpočet impulsního přenosu zvolených soustav

Vypočteme impulsní přenosy zvolených spojitých lineárních soustav. Přenos číslicoanalogového převodníku a sumátoru, obr. 5.2-1, tvoří integrátor, jehož přenos v Laplaceově transformaci je  $\frac{1}{p}$ .

Uvažujeme-li spojitou soustavu s dopravním zpožděním  $T_d$ , to jest s přenosem  $e^{-T_d \cdot p} \cdot F(p)$ , kde  $F(p)$  je ra-

cionalní lomená funkce. Přenos soustavy, sumátoru a číslicovo-analogového převodníku je

$$\frac{e^{-T_d \cdot p}}{p} \cdot F/p/ .$$

Označme  $\frac{1}{p} \cdot F/p/ \hat{=} V/p/$ , kde  $V/p/$  je Laplaceovou transformací funkce  $v/t/$ ,  $L[v/t/] = V/p/$ . Funkci  $v/t/$  můžeme určit tak, že racionální lomenou funkci  $V/p/$  rozložíme na součet částečných / parciálních / zlomků,

$$V/p/ = \sum_{i=1}^n v_i/p/, L[v_i/t/] = v_i/p/, i=1,2\dots,n,$$

$$v/t/ = \sum_{i=1}^n v_i/t/ .$$

Impulsní přenos soustavy, sumátoru a číslicovo-analogového převodníku získáme Z-transformací posloupnosti, která ze spojité funkce

$$g/t/ \begin{cases} v/t-T_d/ & \text{pro } t \geq T_d \\ 0 & \text{pro } t < T_d \end{cases}$$

vznikne tak, že za  $t$  dosazujeme  $t=j \cdot \Delta T$ ,  $j=0,1,2\dots$  a  $\Delta T$  je perioda vzorkování měření. Impulsní přenos soustavy, sumátoru a číslicovo-analogového převodníku zapíšeme

$$\frac{Y}{\Delta U} = \frac{s^k \cdot B}{1-s/A}, k \geq 1 \quad /8.2-1/$$

$A$ ,  $B$  jsou polynomy komplexní proměnné  $s$ ,  $k$  je diskrétní dopravní zpoždění.

### 8.2.1 Stabilní soustava 1. řádu, bez dopravního zpoždění

$F/p = \frac{1}{T \cdot p + 1}$ ,  $T_d = 0$ ,  $T_d$  je dopravní zpoždění,  $T$  je časová konstanta spojité lineární dynamické soustavy prvního řádu.

$$V/p = \frac{1}{p} \cdot F/p = \frac{1}{p \cdot T \cdot p + 1} \cdot$$

Provedeme rozklad na částečné / parciální / zlomky,

$$V/p = \frac{1}{p} - \frac{1}{p-1/T} \cdot$$

/8.2.1-1/

Ve slovníku Z-transformace pro  $\xi = 0$  nalezneme Z-transformaci funkce, jejíž Laplaceova transformace je /8.2.1-1/.

$$\frac{Y}{\Delta U} = V/s, 0/ = \frac{1}{1-s} \cdot \frac{1}{1-s \cdot e^{-\Delta T/T}} \cdot$$

kde  $\Delta T$  je perioda vzorkování.

Naše soustava má  $T=2s$  a  $\Delta T=6s$ . Po dosazení dostáváme tyto hodnoty:

$$\begin{aligned} \frac{Y}{\Delta U} &= \frac{1}{1-s} \cdot \frac{1}{1-0,05 \cdot s} = s \cdot \frac{1}{(1-s) \cdot (1-0,05 \cdot s)} = \\ &= \frac{s \cdot B}{(1-s) \cdot A} \end{aligned}$$

/8.2.1-2/

### 8.2.2 Stabilní filtr 1. řádu, bez dopravního zpoždění

Přenos filtru určíme stejně, jako přenos soustavy, před filtrem není ale zařazen sumátor.  $F/p = \frac{1}{T \cdot p + 1}$ ,  $T_d = 0$ , časová konstanta filtru  $T=1s$  a perioda vzorkování  $\Delta T=6s$ , potom přenos je

$$\frac{Y}{D} = \frac{1}{1-0,01 \cdot s} = \frac{H}{C}$$

/8.2.2-1/

## 9 Regulátory použité k identifikaci

Použité regulátory, seřízené pro vyregulování poruchy žádané veličiny:

$$R_{1w} = \frac{N_1}{M_1} = \frac{-0,2038 \text{ E+0}}{0,1000 \text{ E+1}} \quad \frac{-0,6982 \text{ E-1} \cdot s}{+0,3797 \text{ E+0} \cdot s}, \quad q=5$$

$$R_{2w} = \frac{N_2}{M_2} = \frac{-0,2585 \text{ E+0}}{0,1000 \text{ E+1}} \quad \frac{-0,5939 \text{ E-1} \cdot s}{+0,2806 \text{ E+0} \cdot s}, \quad q=0,1$$

Použité regulátory, seřízené pro vyregulování poruchy vstupující do obvodu filtrem:

$$R_{1f} = \frac{N_1}{M_1} = \frac{-0,1393 \text{ E+0}}{0,1000 \text{ E+1}} \quad \frac{+0,3541 \text{ E-1} \cdot s}{-0,4138 \text{ E-1} \cdot s}, \quad q=5$$

$$R_{2f} = \frac{N_2}{M_2} = \frac{-0,1257 \text{ E+0}}{0,1000 \text{ E+1}} \quad \frac{+0,4131 \text{ E-1} \cdot s}{-0,8440 \text{ E-1} \cdot s}, \quad q=0,1$$

Konstanta  $q$  je kladný váhový koeficient v kvadratickém kriteriu pro návrh optimálního regulátoru,

$$J = \sigma_y^2 + q \cdot \sigma_u^2 \quad . \quad /9-1/$$

## 10 Zidentifikované a vypočtené hodnoty

Ověřovací měření bylo provedeno celkem čtyřikrát. Nejprve se měřilo s první dvojicí regulátorů /  $R_{1w}$ ,  $R_{2w}$  / a poruchy vstupovaly v rychlém sledu za sebou do filtru, druhé měření se provedlo se stejnými regulátory, ale poru-

chy vstupovaly v pomalejším sledu za sebou. Totéž jsme opakovali s druhou dvojicí regulátorů /  $R_{1f}$ ,  $R_{2f}$  /.

Vzhledem k tomu, že nebyl k dispozici generátor náhodných čísel / simulace poruch /, poruchy jsme simulovali přímo na analogovém počítači "ručně", přestavením potenciometru, na nějž jsme přiváděli napětí +10V.

Zjištěné hodnoty při jednotlivých měřeních:

1/ regulátory  $R_{1w}$ ,  $R_{2w}$ , rychlý sled poruch

Koeficienty zidentifikovaných a vypočtených polynomů:

$$\hat{B}_1: \begin{array}{ccccc} -0,9705 & E+1 & -0,5171 & E+0 & -0,8332 & E+0 \\ -0,4925 & E+0 & -0,1426 & E+1 & -0,1034 & E+1 \\ -0,5859 & E+0 & +0,1685 & E+0 & -0,1012 & E+1 \\ -0,1763 & E+0 & +0,9328 & E-1 & & \end{array} -0,1397 & E+1 \\ -0,5989 & E+0 \\ -0,1899 & E+1 \end{array}$$

$$\hat{B}_2: \begin{array}{ccccc} +0,1159 & E+2 & -0,1382 & E+1 & -0,4769 & E+1 \\ -0,3742 & E+1 & -0,3522 & E+1 & -0,4845 & E+1 \\ -0,4390 & E+1 & +0,4722 & E+0 & -0,5691 & E+0 \\ -0,5238 & E+0 & -0,1309 & E+1 & & \end{array} -0,2502 & E+1 \\ -0,3031 & E+1 \\ -0,4822 & E+1 \end{array}$$

$$G^*: \begin{array}{ccccc} +0,1000 & E+1 & -0,2051 & E+2 & -0,1997 & E+2 \\ -0,1517 & E+2 & -0,1207 & E+2 & -0,9978 & E+1 \\ -0,3839 & E+1 & -0,8968 & E-1 & -0,3238 & E+0 \\ +0,2068 & E+1 & +0,2454 & E+1 & & \end{array} -0,1651 & E+2 \\ -0,6241 & E+1 \\ -0,7020 & E+0 \end{array}$$

Vypočtené koeficienty filtru:

$$C: \begin{array}{cc} +0,1000 & E+1 \end{array} -0,2136 & E+2 \\ H: \begin{array}{cc} +0,1000 & E+1 \end{array} -0,8510 & E+0$$

Vypočtené koeficienty podílu  $\frac{B}{A}$ :

$$\frac{B}{A}: \begin{array}{ccccc} +0,9092 & E+2 & +0,1865 & E+4 & +0,4005 & E+5 \\ +0,1847 & E+8 & +0,3966 & E+9 & & \text{OVERFLOW} \end{array} +0,8599 & E+6$$

Vypočtené koeficienty soustavy:

$$\begin{array}{ll} B: & +0,9091 \text{ E+2} \quad -0,8722 \text{ E+2} \\ A: & +0,1000 \text{ E+1} \quad -0,2147 \text{ E+2} \end{array}$$

2/ regulátory  $R_{1w}$ ,  $R_{2w}$ , pomalý sled poruch

Koeficienty zidentifikovaných a vypočtených polynomů:

$$\begin{array}{lllll} \hat{B}_1: & -0,1099 \text{ E+3} & +0,1560 \text{ E+3} & -0,1636 \text{ E+3} & +0,1221 \text{ E+3} \\ & -0,1221 \text{ E+3} & +0,7733 \text{ E+2} & -0,7178 \text{ E+2} & +0,3237 \text{ E+2} \\ & -0,1277 \text{ E+2} & +0,2044 \text{ E+2} & -0,3366 \text{ E+2} & +0,3989 \text{ E+2} \\ & -0,2162 \text{ E+2} & +0,2285 \text{ E+1} & & \end{array}$$

$$\begin{array}{lllll} \hat{B}_2: & -0,7586 \text{ E+1} & +0,5264 \text{ E+1} & +0,8071 \text{ E-1} & -0,2658 \text{ E+1} \\ & +0,1156 \text{ E+1} & +0,2053 \text{ E+0} & +0,7869 \text{ E+0} & -0,2028 \text{ E+1} \\ & -0,6671 \text{ E-1} & -0,6085 \text{ E-3} & -0,7367 \text{ E+0} & +0,1183 \text{ E+0} \\ & -0,1793 \text{ E+0} & +0,2268 \text{ E+0} & & \end{array}$$

$$\begin{array}{lllll} G^*: & +0,1000 \text{ E+1} & -0,9848 \text{ E+2} & +0,4523 \text{ E+2} & -0,1120 \text{ E+3} \\ & +0,4714 \text{ E+2} & -0,7390 \text{ E+2} & +0,3804 \text{ E+1} & -0,6974 \text{ E+2} \\ & -0,3393 \text{ E+2} & -0,4872 \text{ E+2} & -0,2711 \text{ E+2} & -0,5974 \text{ E+2} \\ & -0,2101 \text{ E+2} & -0,4210 \text{ E+2} & & \end{array}$$

Vypočtené koeficienty filtru:

$$\begin{array}{ll} C: & +0,1000 \text{ E+1} \quad -0,9828 \text{ E+2} \\ H: & +0,1000 \text{ E+1} \quad +0,2155 \text{ E+0} \end{array}$$

Vypočtené koeficienty podílu  $\frac{B}{A}$ :

$$\begin{array}{llll} \frac{B}{A}: & +0,3734 \text{ E+3} & +0,3624 \text{ E+5} & +0,3553 \text{ E+7} \quad +0,3483 \text{ E+9} \\ & \text{OVERFLOW} & & \end{array}$$

Vypočtené koeficienty soustavy:

$$\begin{array}{ll} B: & +0,3734 \text{ E+3} \quad -0,3638 \text{ E+3} \\ A: & +0,1000 \text{ E+1} \quad -0,9803 \text{ E+2} \end{array}$$

3/ regulátory  $R_{1f}$ ,  $R_{2f}$ , rychlý sled poruch

Koeficienty zidentifikovaných a vypočtených polynomů:

$$\hat{B}_1 : \begin{array}{cccccc} -0,1234 & E+2 & +0,1265 & E+3 & +0,8895 & E+2 \\ -0,5415 & E+2 & +0,2655 & E+2 & +0,2632 & E+0 \\ -0,4811 & E+2 & -0,2449 & E+2 & -0,3004 & E+1 \\ +0,2536 & E+2 & +0,4925 & E+1 & & \end{array} +0,5287 & E+2$$

$$\hat{B}_2 : \begin{array}{cccccc} -0,2108 & E+2 & +0,1121 & E+1 & +0,2489 & E+2 \\ -0,8456 & E+1 & -0,6043 & E+1 & +0,3216 & E+1 \\ +0,3307 & E+1 & -0,9803 & E+1 & -0,2705 & E+1 \\ -0,2396 & E+1 & -0,9903 & E-2 & & \end{array} +0,9017 & E+1 \\ +0,1566 & E+2 \\ -0,3976 & E+1$$

$$G^* : \begin{array}{cccccc} +0,1000 & E+1 & +0,1318 & E+3 & -0,1002 & E+3 \\ -0,1011 & E+3 & -0,1622 & E+2 & -0,9309 & E+2 \\ -0,8038 & E+2 & -0,1682 & E+2 & -0,3541 & E+1 \\ -0,9109 & E+1 & -0,6269 & E+2 & & \end{array} -0,1012 & E+3 \\ -0,1052 & E+3 \\ -0,4739 & E+2$$

Vypočtené koeficienty filtru:

$$C : +0,1000 \quad E+1 \quad +0,1314 \quad E+3$$

$$H : +0,1000 \quad E+1 \quad -0,4248 \quad E+0$$

Vypočtené koeficienty podílu  $\frac{B}{A}$ :

$$\frac{B}{A} : -0,1070 \quad E+4 \quad +0,1426 \quad E+6 \quad -0,1891 \quad E+8 \quad \text{OVERFLOW}$$

Vypočtené koeficienty soustavy:

$$B : -0,1070 \quad E+4 \quad +0,7823 \quad E+3$$

$$A : +0,1000 \quad E+1 \quad +0,1326 \quad E+3$$

4/ regulátory  $R_{1f}$ ,  $R_{2f}$ , pomalý sled poruch

Koeficienty zidentifikovaných a vypočtených polynomů:

$\hat{B}_1$ : +0,3246 E+2 -0,3388 E+2 +0,9871 E+1 -0,4780 E+1  
 -0,2589 E+2 -0,6045 E+0 +0,2709 E+1 -0,3998 E+0  
 +0,1414 E+1 -0,1914 E+1 +0,4817 E+1 -0,3803 E+1  
 +0,1656 E+0 +0,4932 E+0

$\hat{B}_2$ : -0,6494 E+1 +0,1307 E+2 -0,5010 E+1 -0,5857 E+1  
 -0,1136 E+1 +0,3935 E+1 -0,1846 E+1 +0,1380 E+1  
 -0,2355 E+0 +0,1888 E+1 -0,2641 E+1 -0,2396 E+1  
 +0,3212 E+1 -0,3693 E+0

$G^*$ : +0,1000 E+1 -0,5016 E+2 +0,3713 E+2 -0,1255 E+2  
 -0,8314 E+1 -0,2358 E+1 +0,2171 E+1 -0,7287 E+1  
 -0,1969 E+1 -0,4774 E+1 +0,9183 E+0 -0,1118 E+2  
 -0,4476 E+1 -0,9500 E+0

Vypočtené koeficienty filtru:

C: +0,1000 E+1 -0,4966 E+2  
 H: +0,1000 E+1 +0,4966 E+0

Vypočtené koeficienty podílu  $\frac{B}{A}$ :

$\frac{B}{A}$ : +0,3925 E+3 +0,1910 E+5 +0,9436 E+6 +0,4662 E+8  
 OVERFLOW

Vypočtené koeficienty soustavy:

B: +0,3925 E+3 -0,2897 E+3  
 A: +0,1000 E+1 -0,4941 E+2

Všechna dělení polynomů, která se prováděla během výpočtu, byla prováděna na čtrnáct koeficientů, jak je vidět z podílu  $\frac{B}{A}$ , vždy zde došlo k přetečení výsledku / OVERFLOW /.

## 11 Popis příloh

V práci je celkem 5 příloh. Příloha číslo 1 je výpis sestaveného programu v ASSEMBLERu a strojovém kódu, jehož bližší popis byl proveden v kapitole 7.1. Přílohy číslo 2 až 5 graficky znázorňují průběh zidentifikovaných koeficientů polynomů  $\hat{B}_1$ ,  $\hat{B}_2$  a koeficientů vypočteného polynomu  $G^*$ . Polynom  $G^*$  byl vypočten ze vztahu /5.2-16/. Označení na svislé ose platí zprava pro  $G^*$  a zleva pro  $\hat{B}_1$  a  $\hat{B}_2$ .

## 12 Závěr

Úkolem diplomové práce bylo ověřit algoritmus identifikace váhové funkce regulované soustavy, při vstupu poruch přes lineární filtr, pomocí dvou regulátorů. Po skončení identifikace navrhnut optimální regulátor.

Algoritmus byl již dříve ověřen na číslicovém počítači RPP-16S, kde byly pro ověření téměř ideální podmínky. Porucha zde byla generována generátorem náhodných čísel a poruchy měly charakter bílého šumu. Poruchy vstupovaly do obvodu v okamžiku vzorkování. Výsledky tohoto ověření byly uspokojivé.

Ve své práci jsem při ověřování pracoval v podmínkách, které se více blíží skutečným provozním podmínkám, ve kterých by mohl celý systém v budoucnu pracovat.

Poruchy jsem generoval "ručně", změnou napětí na vstupu do filtru. Dá se říci, že poruchy měly zcela náhodný charakter. Vygenerované poruchy nevstupovaly do obvodu až v okamžiku vzorkování, ale kdykoliv došlo ke změně napětí na vstupu do filtru. To jsou dva výrazné rozdíly oproti předchozímu ověřování uvedeného algoritmu.

Z uvedených naměřených a vypočtených hodnot je zcela jasné, že celý algoritmus zhavaroval. Vychází úplně jiné hodnoty polynomů soustavy a filtru, než jaké byly doopravdy

namodelovány na analogovém počítači.

Po prvních negativních výsledcích měření, jsem se snažil zjistit, jestli při použití regulátorů, seřízených na rozdílný typ poruchy, budou výsledky konvergovat ke stejným hodnotám. Z výsledků je patrné, že i zde jsou výsledky negativní. Totéž se opakovalo v případě ověřování závislosti výsledků při měření se stejnými regulátory, ale při rozdílné rychlosti sledu poruch. Výsledky i z těchto měření vychází opět pokaždé jinak.

Na základě zjištěných hodnot, mohu konstatovat, že mnou použitá metoda v podmírkách blížících se praxi, zcela nevyhovuje. Vzhledem ke zcela negativním výsledkům u soustavy prvního řádu, nebylo pokračováno v ověřování metody u soustav vyšších řádů. Vypočtené polynomy soustavy jsou nestabilní, proto nemělo vůbec význam navrhovat optimální regulátor.

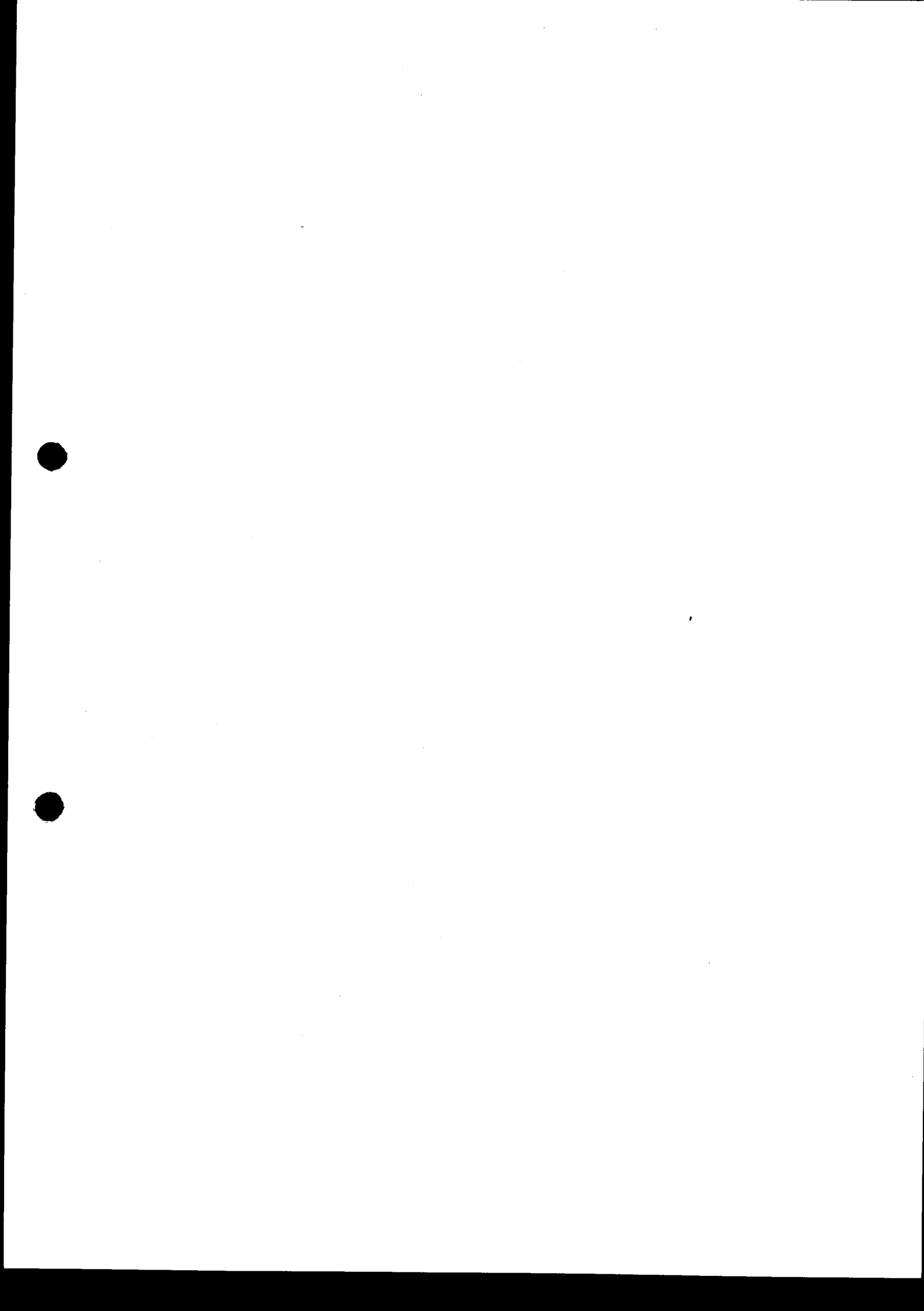
Během ověřování se objevil další nedostatek. Při identifikaci polynomů  $\hat{B}_1$  a  $\hat{B}_2$  trvalo velmi dlouho, u každého z regulátorů více než 30 minut, než se koeficienty těchto polynomů ustálily a výrazně se dále neměnily. Pro zidentifikování obou polynomů bylo zapotřebí nejméně 60 minut, což by v praxi, pokud by metoda byla použitelná, bylo neúměrně mnoho.

Nebylo ověřeno, jestli by došlo ke zlepšení výsledků prodloužením polynomů  $\hat{B}_1$  a  $\hat{B}_2$ . Byla k dispozici omezená kapacita paměti. Osobně si od případného prodloužení mnoho neslibuji, pouze to že dojde k prodloužení doby po kterou je zapotřebí provádět identifikaci obou polynomů.

Závěrem mohu říci, že použitá metoda identifikace, při použití v podmírkách blížících se praxi, zcela selhala. Nejvíce chyb způsobuje právě vstup poruchy jindy, než v okamžiku vzorkování, ale v praxi nebudou nikdy poruchy vstupovat právě v okamžiku vzorkování. Do výpočtu je zanesena chyba zaokrouhlování převodníků a počítače, ale i šum převodníků způsobuje chybu. Nezbývá, než konstatovat, že uvedená metoda se pro praktické použití nehodí.

### Literatura

- /1/ JANEČEK,B. : Návrh vhodných způsobů řízení vyššího typu, zvláště pak typu adaptivního pro energetické procesy. / Disertační práce, KTK - 0115 /, Liberec, VŠST, 1984.
- /2/ HANUŠ,B. a kolektiv : Teorie automatického řízení I. / Skripta VŠST /, Liberec, VŠST, 1982.
- /3/ HANUŠ,B. - BALDA,M. a kolektiv : Základy technické kybernetiky. / Skripta VŠST a ČVUT /, Liberec, VŠST, Praha, ČVUT, 1979.
- /4/ STRÁNSKÁ,J. : Návrh a vypracování algoritmu číslicového regulátoru pro lineární dynamické soustavy, do kterých vstupují náhodné poruchy lineárním filtrem. / Diplomová práce VŠST, KTK - ASŘ - TF - 086 /, Liberec, VŠST, 1984.
- /5/ VIŠŇOVSKÁ,M. - NOVÁKOVÁ,H. - CHAMRÁD,V. : Knihovna FTAR - LIB pro mikropočítače s mikroprocesorem 8080. / Výzkumná zpráva ÚTIA, č. 983 /, Praha, ÚTIA, 1979.
- /6/ MACHAČKA,I. - PARTYK,P. : Základní instrukce mikroprocesoru 8080. Bratislava, OBZOR, 1982.
- /7/ BUNTOVÁ,M. : Simulace dynamických procesů na hybridním počítači. / Diplomová práce VŠST, KTK - ASŘ - TF - 067 /, Liberec, VŠST, 1984.
- /8/ NĚMEČEK,S. a kolektiv : Technické prostředky automatického řízení. / Skripta VŠST /, Liberec, VŠST, 1981.



Anotace

Diplomová práce se zabývá problematikou číslicové regulace. Ověřuje algoritmus identifikace váhové funkce soustavy v uzavřeném regulačním obvodu, pomocí dvou různých regulátorů, při vstupu poruchy přes lineární filtr. K identifikaci je použita metoda nejmenších čtverců. Algoritmy byly naprogramovány ve strojovém kódu mikroprocesoru 8080, na miropočítáci SAPI 1. Mikropočítáč byl spojen s analogovým počítačem MEDA 43HA, na kterém byly modelovány příslušné soustavy.

Práce prokázala naprostou nevhodnost použité metody pro praktické použití.

# PŘÍLOHA ČÍSLO 1

CROSSASSEMBLER JSA INTEL - MOS-2 DATE 17/05/83 TIME 00:56 PAGE 1

;PODPROGRAMY			
1	EQU	KONEC	4545
2	EQU	CTVE	5311; ;CTENI VEKTORU
3	EQU	CY504	522F; ;TISK VEKTORU
4	EQU	IDHWX	49F9
5	EQU	IDFTX	4A1E
6	EQU	ODHWX	489A
7	EQU	ODFTX	48B5
10	EQU	OASNP	4824
11	EQU	NULDIS	0CF4
12	EQU	FTADD	440E
13	EQU	FTLXH	4696
14	EQU	FTLYH	469D
15	EQU	FTSXH	46A4
16	EQU	FTSBY	4400; ;ROZDIL X=X-Y
20	EQU	FTDYX	44C5; ;DELENI X=Y/X
21	EQU	CFTHW	46E4
22	EQU	CRLF	51B0
23	EQU	SNRS	537F
24	EQU	OABLK	4846
25	EQU	ADDAB	0D2DC; ;SUMA POLYNOMU
26	EQU	DIVBA	0F000; ;DELENI POLYNOMU
27	EQU	MULAB	0EA00; ;NASOBENI POLYNOMU
30	EQU	STLDF	5A7A
31	EQU	KLDF	5A0F
32	EQU	LDFT	5B3C
33	EQU	KRTEC	8DB1
34	EQU	KSPBOD	910C
35	EQU	KEDIT	91EF
36	EQU	KONSG	0D53D
37	EQU	CI	0D6A; ;CEKA NA CR
40	EQU	ZLOM	0D1A1
41	EQU	ZLOM2	0D1A7
42	EQU	TGRAF	0D28C
43	EQU	TINRV	0D43A
44	EQU	TIDUL	0D463
45	EQU	TTEXT	0D48A
46	EQU	TTISK	0D6AA
47	EQU	OBSAZ	0D144
50	EQU	MUL1	0F14B; ;NASOBI VEKTOR KONSTANTOU -1
51	EQU	PRES	0D664; ;PRESOUVA VEKTOR
52	EQU	NASS	0D590; ;NASOBI VEKTOR (1-S)
53	EQU	CTENI	0D26C
54	EQU	CTENI1	0D278
55	EQU	MINMAX	0D4BF; ;HLEDA MINIMUM A MAXIMUM
56	EQU	TTEXT2	0D685
57	EQU	TTISK2	0D390
60	EJECT		

61 ;  
62 ;  
63 ;PROMENE A KONSTANTY  
64 ;  
65 ;  
66 EQU DULDS 7DB3  
67 EQU DALD 7FE8  
70 EQU NG 0D000; ;POCET PRVKU G  
71 EQU GP 0DF00; ;ZACATEK POLYNOMU G  
72 EQU CYKL 0D010  
73 EQU CYKL1 0D012  
74 EQU CYKL2 0D017  
75 EQU ADR 0D02C  
76 EQU ADR1 0D02A  
77 EQU ADR2 0D028  
100 EQU MOC 0D009  
101 EQU NRV 7C84  
102 EQU FRG 7CF4  
103 EQU BH 0DB01; ;ZACATEK POLYNOMU B S HVEZD.  
104 EQU MP 0DC1B; ;ZACATEK POLYNOMU M REGULATORU  
105 EQU NP 0DC01; ; N  
106 EQU NBH 0DB00; ;DELKA POLYNOMU BH  
107 EQU MM 0DC1A; ;DELKA M MAX. 8 PRVKA  
110 EQU NN 0DC00; ; N  
111 EQU POPO 0DD01; ;POMOCNY POLYNOM  
112 EQU NPOPO 0DD00; ;DELKA POPO  
113 EQU AP 0EAB0  
114 EQU BP 0EAB2  
115 EQU CP 0EAB4  
116 EQU NZL01 0DA00; ;POCET ZL01  
117 EQU ZL01 0DA01; ; MAX. 67 PRVKA  
120 EQU KMAXGF 8127  
121 EQU KMINGF 8124  
122 EQU KMINKR 8137  
123 EQU KKONGF 8130  
124 EQU KKONKR 813A  
125 EQU ULD1 0FB01; ;POLE 50\*3B (B1)  
126 EQU ULD2 0FC01; ; " " (B2)  
127 EQU NRV1 0FB0 ;POCET ULD1  
130 EQU NRV2 0FC00; ; " ULD2  
131 EQU PM1 0E200; ;POLYNOM M REGULATORU 1  
132 EQU PM2 0E230; ; " " 2  
133 EQU PN1 0E218; ;POLYNOM N REGULATORU 1  
134 EQU PN2 0E248; ; " " 2  
135 EQU DR1 0E1CA; ;DELKA REGULATORU 1  
136 EQU DR2 0E1CB; ; " " 2  
137 EQU NZLP 0DC33; ;MAX. 85  
140 EQU ZLP1 0DC34; ;MAX. 85 PRVKA  
141 EQU NG1 0DE00; ;DELKA POLYNOMU (G-1)  
142 EQU G1 0DE01; ;POLYNOM (G-1)  
143 EQU N 0EAA1  
144 EQU M 0EAA2  
145 EQU NM 0EAA0  
146 EQU RADM 0FFE0  
147 EQU RADN 0FFE1  
150 EQU RADK 0FFE2

=====

CROSSASSEMBLER JSA INTEL - MOS-2 DATE 17/05/83 TIME 00:57 PAGE 3

=====

151	EQU	ADRBK	0FFF3
152	EQU	ADRAK	0FFF5
153	EQU	ADRGK	0FFF7
154	EJECT		

155 ;  
156 ;  
157 ;  
160 ;  
161 ; PROGRAMY  
162 ;  
163 ;  
164 ;  
165 0000 ORG 0D040  
166 ;  
167 ; PRIPRAVA PRO ZPRAVOCVANI V LDFIL  
170 D040 CD F9 49 CALL IDHWX  
171 D043 21 00 D0 LXI H, NG  
172 D046 73 MOV M, E  
173 D047 4B MOV C, E  
174 D048 21 00 DF LXI H, GP  
175 D04B CD 11 53 CALL CTVE  
176 ; START PRI PREDCHOZIM PROG. OBSAZ. GP  
177 D04E CD 3A D4 CALL TINRV  
200 D051 CD F9 49 CALL IDHWX; ;POCET IDENTIFIKOVANYCH CLENU  
201 D054 CD 63 D4 CALL TIDULY; ;POCATECNI OBSAZENI DULDS  
202 D057 21 B4 7C LXI H, NRV  
203 D05A 73 MOV M, E  
204 D05B 21 09 D0 LXI H, MOC  
205 D05E 73 MOV M, E  
206 D05F 16 00 MVI D, 00H  
207 D061 CD 0F 5A CALL KLDF  
210 D064 CD 1E 4A CALL IDFTX; ;NACTENI DULDS 100 E+6  
211 D067 21 B3 7D LXI H, DULDS  
212 D06A CD A4 46 CALL FTSXH  
213 D06D CD 8C D2 CALL TGRAF; ;NAKRESLI PRUBEH VSTUPNIHO VEN  
214 D070 CD 6A 0D CALL CI  
215 D073 CD F4 0C CALL NULDIS  
216 D076 21 E8 7F LXI H, DALD  
217 D079 22 2C D0 SHLD ADR  
220 D07C 1E 00 MVI E, 00H  
221 D07E 1C NAV1: INR E  
222 D07F 21 10 D0 LXI H, CYKL  
223 D082 73 MOV M, E  
224 D083 16 00 MVI D, 00H  
225 D085 1E 00 MVI E, 00H  
226 D087 06 00 MVI B, 00H  
227 D089 2A 2C D0 LHLD ADR  
230 D08C CD A4 46 CALL FTSXH  
231 D08F 22 2C D0 SHLD ADR  
232 D092 21 10 D0 LXI H, CYKL  
233 D095 5E MOV E, M  
234 D096 21 09 D0 LXI H, MOC  
235 D099 7E MOV A, M  
236 D09A BB CMP E  
237 D09B C2 7E D0 JNZ NAV1  
240 D09E 21 10 D0 LXI H, CYKL  
241 D0A1 73 MOV M, E  
242 D0A2 16 C0 MVI D, 0C0; ;OBSAZENI PRVNIHO PRVKU JEDNICO  
243 D0A4 1E 00 MVI E, 00H  
244 D0A6 06 41 MVI B, 041H

245	DOA8	2A 2C D0	LHLD	ADR	
246	DOAB	22 2A D0	SHLD	ADR1	
247	DOAE	CD A4 46	CALL	FTSXH	
250	DOB1	22 2C D0	SHLD	ADR	
251	DOB4	1E 00	MVI	E, 00H	
252	DOB6	1C	NAV2:	INR	E
253	DOB7	21 10 D0	LXI	H, CYKL	
254	DOBA	73	MOV	M, E	
255	DOBB	16 00	MVI	D, 00H	
256	DOBD	1E 00	MVI	E, 00H	
257	DOBF	06 00	MVI	B, 00H	
260	DOC1	2A 2A D0	LHLD	ADR1	
261	DOC4	CD A4 46	CALL	FTSXH	
262	DOC7	22 2C D0	SHLD	ADR	
263	DOCA	21 10 D0	LXI	H, CYKL	
264	DOCD	5E	MOV	E, M	
265	DOCE	21 09 D0	LXI	H, MOC	
266	DOD1	7E	MOV	A, M	
267	DOD2	BB	CMP	E	
270	DOD3	C2 B6 D0	JNZ	NAV2	
271	DOD6	21 00 DF	LXI	H, GP	
272	DOD9	CD 96 46	CALL	FTLXH	
273	DODC	22 2C D0	SHLD	ADR	
274	DODF	21 E8 7F	LXI	H, DALD	
275	DOE2	CD A4 46	CALL	FTSXH	
276	DOE5	21 F4 7C	LXI	H, FRG	
277	DOE8	16 40	MVI	D, 40H	
300	DOEA	06 41	MVI	B, 41H	
301	DOEC	1E 00	MVI	E, 00H	
302	DOEE	CD A4 46	CALL	FTSXH	
303	DOF1	21 84 7C	LXI	H, NRV	
304	DOF4	5E	MOV	E, M	
305	DOF5	1E 00	MVI	E, 00H	
306	DOF7	1C	NAV3:	INR	E
307	DOF8	21 10 D0	LXI	H, CYKL	
310	DOFB	73	MOV	M, E	
311	DOFC	CD 3C 5B	CALL	LDFT;	;VOLANI LDFILTRU
312	DOFF	21 09 D0	LXI	H, MOC	
313	D102	4E	MOV	C, M	
314	D103	21 E8 7F	LXI	H, DALD	
315	D106	CD 7F 53	CALL	SNRS;	;STARNUTI POLYNOMU PRO LDFIL
316	D109	2A 2C D0	LHLD	ADR	
317	D10C	CD 96 46	CALL	FTLXH	
320	D10F	22 2C D0	SHLD	ADR	
321	D112	21 E8 7F	LXI	H, DALD	
322	D115	CD A4 46	CALL	FTSXH	
323	D118	21 09 D0	LXI	H, MOC	
324	D11B	4E	MOV	C, M	
325	D11C	2A 2A D0	LHLD	ADR1	
326	D11F	CD 7F 53	CALL	SNRS;	;STARNUTI POLYNOMU PRO LDFIL
327	D122	16 00	MVI	D, 00H	
330	D124	1E 00	MVI	E, 00H	
331	D126	06 00	MVI	B, 00H	
332	D128	2A 2A D0	LHLD	ADR1	
333	D12B	CD A4 46	CALL	FTSXH	
334	D12E	21 00 D0	LXI	H, NG	

335	D131	7E	MOV	A, M	
336	D132	21 10 D0	LXI	H, CYKL	
337	D135	5E	MOV	E, M	
340	D136	BB	CMP	E	
341	D137	C2 F7 D0	JNZ	NAV3	
342	D13A	CD 8A D4	CALL	TTEXT	
343	D13D	CD B0 51	CALL	CRLF	
344	D140	CD AA D6	CALL	TTISK	
345	D143	C9	RET		
346		;			
347		;			
350		;			
351	D144		ORG	OD144	
352			; PODPROGRAM OBSAZ, OBSAZUJE VEKTOR GP,B1,B2,PM1,PN1,PM2,PN2		
353		;			
354	D144	CD F4 0C	CALL	NULDIS	
355	D147	CD F9 49	CALL	IDHWX	
356	D14A	21 00 D0	LXI	H, NG	
357	D14D	73	MOV	M, E	
360	D14E	21 00 DF	LXI	H, GP	
361	D151	CD 11 53	CALL	CTVE	;NACTENI GP
362	D154	CD B0 51	CALL	CRLF	
363	D157	21 FB 00	LXI	H, NRV1	
364	D15A	CD 6C D2	CALL	CTENI;	;CTE B1*
365	D15D	21 00 FC	LXI	H, NRV2	
366	D160	CD 6C D2	CALL	CTENI;	;CTE B2*
367	D163	CD F9 49	CALL	IDHWX	
370	D166	21 CA E1	LXI	H, DR1	
371	D169	73	MOV	M, E	
372	D16A	4B	MOV	C, E	
373	D16B	21 00 E2	LXI	H, PM1	
374	D16E	CD 78 D2	CALL	CTENI1;	;CTE PM1
375	D171	21 CA E1	LXI	H, DR1	
376	D174	4E	MOV	C, M	
377	D175	59	MOV	E, C	
400	D176	16 00	MVI	D, 00	
401	D178	CD 9A 48	CALL	ODHWX	
402	D17B	21 18 E2	LXI	H, PN1	
403	D17E	CD 78 D2	CALL	CTENI1;	;CTE PN1
404	D181	CD F9 49	CALL	IDHWX	
405	D184	21 CB E1	LXI	H, DR2	
406	D187	73	MOV	M, E	
407	D188	4B	MOV	C, E	
410	D189	21 30 E2	LXI	H, PM2	
411	D18C	CD 78 D2	CALL	CTENI1;	;CTE PM2
412	D18F	21 CB E1	LXI	H, DR2	
413	D192	4E	MOV	C, M	
414	D193	59	MOV	E, C	
415	D194	16 00	MVI	D, 00	
416	D196	CD 9A 48	CALL	ODHWX	
417	D199	21 48 E2	LXI	H, PN2	
420	D19C	CD 78 D2	CALL	CTENI1;	;CTE PM2
421	D19F	C9	RET		
422		;			
423		;			
424		;			

425 ;  
426 D1A0 ORG 0D1A1  
427 ; PODPROGRAM ZLOM  
430 ;  
431 D1A1 CD 85 D6 CALL TTEXT2 ;CTE POCET KOEFICIENTU PO DELEN  
432 D1A4 CD F9 49 CALL IDHWX# ;PRIPRAVA PRO PODIL M/N  
433 D1A7 21 E2 FF LXI H, RADK;  
434 D1AA 73 MOV M, E  
435 D1AB 21 33 DC LXI H, NZLP  
436 D1AE 73 MOV M, E  
437 D1AF 21 1B DC LXI H, MP  
440 D1B2 22 F3 FF SHLD ADRBK  
441 D1B5 21 01 DC LXI H, NP  
442 D1B8 22 F5 FF SHLD ADRAK  
443 D1BB 21 34 DC LXI H, ZLP1; ;ADRESA KDE BUDE VYSLEDEK  
444 D1BE 22 F7 FF SHLD ADRGK  
445 D1C1 3A 1A DC LDA MM  
446 D1C4 32 E0 FF STA RADM  
447 D1C7 3A 00 DC LDA NN  
450 D1CA 32 E1 FF STA RADN  
451 D1CD CD 00 F0 CALL DIVBA; ;PODIL M/N  
452 D1D0 21 03 DF LXI H, ODF03H  
453 D1D3 11 01 DE LXI D, G1  
454 D1D6 3A 00 D0 LDA NG  
455 D1D9 3D DCR A  
456 D1DA 32 00 DE STA NG1  
457 D1DD CD 64 D6 CALL PRES  
460 D1E0 3A 33 DC LDA NZLP  
461 D1E3 32 E2 FF STA RADK  
462 D1E6 21 34 DC LXI H, ZLP1; ;PRIPRAVA NASOBENI (G-1)\*(M/N)  
463 D1E9 22 B0 EA SHLD AP  
464 D1EC 21 01 DE LXI H, G1  
465 D1EF 22 B2 EA SHLD BP  
466 D1F2 21 01 DD LXI H, POPO  
467 D1F5 22 B4 EA SHLD CP  
470 D1F8 3A 33 DC LDA NZLP  
471 D1FB 32 A1 EA STA N  
472 D1FE 3A 00 DE LDA NG1  
473 D201 32 A2 EA STA M  
474 D204 CD 00 EA CALL MULAB; ;NASOBENI  
475 D207 3A A0 EA LDA NM  
476 D20A 32 00 DD STA NPOPO  
477 D20D 3A 00 DD LDA NPOPO# ;PRIPRAVA SOUCTU BH+( )  
500 D210 32 12 D0 STA CYKL1  
501 D213 21 01 DD LXI H, POPO  
502 D216 22 2A D0 SHLD ADR1  
503 D219 3A 00 DB LDA NBH  
504 D21C 32 17 D0 STA CYKL2  
505 D21F 21 01 DB LXI H, BH  
506 D222 22 28 D0 SHLD ADR2  
507 D225 21 01 DD LXI H, POPO  
510 D228 22 2C D0 SHLD ADR  
511 D22B CD DC D2 CALL ADDAB; ;SOUSET  
512 D22E 3A E2 FF LDA RADK# ;PRIPRAVA PRO DELENI, DELKA VY  
513 D231 32 00 DE STA NG1  
514 D234 3A 00 DD LDA NPOPO

=====  
CROSSASSEMBLER JSA INTEL - MOS-2 DATE 17/05/83 TIME 01:00 PAGE 8  
=====

515	D237	32 E0 FF	STA	RADM	
516	D23A	21 01 DD	LXI	H, POPO	
517	D23D	22 F3 FF	SHLD	ADRBK	
520	D240	3A 00 D0	LDA	NG	
521	D243	32 E1 FF	STA	RADN	
522	D246	21 00 DF	LXI	H, GP;	;ADRESA, KDE BUDE ULOZEN VYSLED
523	D249	22 F5 FF	SHLD	ADRAK	
524	D24C	21 01 DE	LXI	H, G1;	;ADRESA, KDE BUDE ULOZEN VYSLE
525	D24F	22 F7 FF	SHLD	ADRGK	
526	D252	CD 00 F0	CALL	DIVBA;	;POSLEDNI DELENI
527	D255	C9		RET	
530		;			
531		;			
532		;			
533	D256		ORG	0D28C	
534		;	PODPROGRAM	TGRAF	
535		;			
536	D28C	CD F4 0C	CALL	NULDIS	
537	D28F	CD BF D4	CALL	MINMAX	
540	D292	CD B1 8D	CALL	KRTEC	
541	D295	3A 00 D0	LDA	NG	
542	D298	32 10 D0	STA	CYKL	
543	D29B	3E 0A	MVI	A, 0AH	
544	D29D	32 12 D0	STA	CYKL1	
545	D2A0	00	NOP		
546	D2A1	21 00 DF	LXI	H, GP	
547	D2A4	22 2C D0	SHLD	ADR	
550	D2A7	2A 2C D0	LBL1:	LHLD	ADR
551	D2AA	CD 96 46	CALL	FTLXH	
552	D2AD	22 2C D0	SHLD	ADR	
553	D2B0	3E 24	MVI	A, 24H	
554	D2B2	CD 0C 91	CALL	KSPBOD	
555	D2B5	CD EF 91	CALL	KEDIT	
556	D2B8	3A 12 D0	LDA	CYKL1	
557	D2BB	3D	DCR	A	
560	D2BC	32 12 D0	STA	CYKL1	
561	D2BF	C2 CA D2	JNZ	LBL2	
562	D2C2	3E 0A	MVI	A, 0AH	
563	D2C4	32 10 D0	STA	CYKL	
564	D2C7	CD 6A 0D	CALL	CI	
565	D2CA	3A 10 D0	LBL2:	LDA	CYKL
566	D2CD	3D	DCR	A	
567	D2CE	32 10 D0	STA	CYKL	
570	D2D1	C2 A7 D2	JNZ	LBL1	
571	D2D4	C9		RET	
572		;			
573		;			
574		;			
575	D2D5		ORG	0D26C	
576		;	PODPROGRAMY	CTENI A CTENI1	
577		;			
600	D26C	22 2C D0	SHLD	ADR	
601	D26F	CD F9 49	CALL	IDHWX	
602	D272	2A 2C D0	LHLD	ADR	
603	D275	73	MOV	M, E	
604	D276	23	INX	H	

=====  
CROSSASSEMBLER JSA INTEL - MOS-2 DATE 17/05/83 TIME 01:01 PAGE 9  
=====

605	D277	CD 11 53	CALL	CTVE
606	D27A	CD B0 51	CALL	CRLF
607	D27D	C9	RET	
610		;		
611		;		
612		;		
613	D27E		ORG	0D2DCH
614			;	PODPROGRAM SOUCTU DVOU POLYNOMU
615			;	
616	D2DC	00	NOP	
617	D2DD	21 12 D0	LXI	H, CYKL1
620	D2E0	7E	MOV	A, M
621	D2E1	21 17 D0	LXI	H, CYKL2
622	D2E4	5E	MOV	E, M
623	D2E5	BB	CMP	E
624	D2E6	CA 14 D3	JZ	NAV7
625	D2E9	D2 0C D3	JNC	NAV8
626	D2EC	2A 2A D0	LHLD	ADR1
627	D2EF	23	NAV9:	INX H
630	D2F0	23		INX H
631	D2F1	23		INX H
632	D2F2	3D		DCR A
633	D2F3	1D		DCR E
634	D2F4	FE 00		CPI 00H
635	D2F6	C2 EF D2		JNZ NAV9
636	D2F9	7B		MOV A, E
637	D2FA	3D	NAVA:	DCR A
640	D2FB	16 00		MVI D, 00H
641	D2FD	1E 00		MVI E, 00H
642	D2FF	06 00		MVI B, 00H
643	D301	CD A4 46		CALL FTSXH
644	D304	FE 00		CPI 00H
645	D306	C2 FA D2		JNZ NAVA
646	D309	C3 14 D3		JMP NAV7
647	D30C	5F	NAV8:	MOV E, A
650	D30D	7E		MOV A, M
651	D30E	2A 28 D0		LHLD ADR2
652	D311	C3 EF D2		JMP NAV9
653	D314	00	NAV7:	NOP
654	D315	21 10 D0		LXI H, CYKL
655	D318	7E		MOV A, M
656	D319	21 17 D0		LXI H, CYKL2
657	D31C	5E		MOV E, M
660	D31D	BB		CMP E
661	D31E	C3 28 D3		JMP NAVB
662	D321	21 10 D0		LXI H, CYKL
663	D324	73		MOV M, E
664	D325	C3 2C D3		JMP NAVC
665	D328	21 10 D0	NAVB:	LXI H, CYKL
666	D32B	77		MOV M, A
667	D32C	7E	NAVC:	MOV A, M
670	D32D	21 12 D0		LXI H, CYKL1
671	D330	77		MOV M, A
672	D331	2A 2C D0		LHLD ADR
673	D334	22 2E D0		SHLD 0D02EH
674	D337	2A 2A D0	NAVD:	LHLD ADR1

=====  
CROSSASSEMBLER JSA INTEL - MOS-2 DATE 17/05/83 TIME 01:02 PAGE 10  
=====

675	D33A	CD 96 46	CALL	FTLXH	
676	D33D	22 2A D0	SHLD	ADR1	
677	D340	2A 28 D0	LHLD	ADR2	
700	D343	CD 9D 46	CALL	FTLYH	
701	D346	CD 0E 44	CALL	FTADD	
702	D349	2A 28 D0	LHLD	ADR2	
703	D34C	23	INX	H	
704	D34D	23	INX	H	
705	D34E	23	INX	H	
706	D34F	22 28 D0	SHLD	ADR2	
707	D352	2A 2C D0	LHLD	ADR	
710	D355	CD A4 46	CALL	FTSXH	
711	D358	22 2C D0	SHLD	ADR	
712	D35B	21 12 D0	LXI	H, CYKL1	
713	D35E	3E 00	MVI	A, 00H	
714	D360	35	DCR	M	
715	D361	BE	CMP	M	
716	D362	C2 37 D3	JNZ	NAVD	
717	D365	C9	RET		
720		;			
721		;			
722		;			
723	D366		ORG	0D390H	
724		;	PROGRAM VYPOCTU ARIT. PRUMERU, TISK SOUCTU A PRUMERU		
725		;			
726	D390	21 01 DA	NAVF:	LXI H, ZL01;	#PRIprava pro soucet obou zlom
727	D393	22 2A D0	SHLD	ADR1	
730	D396	3A 00 DA	LDA	NZL01	
731	D399	32 12 D0	STA	CYKL1	
732	D39C	21 01 DE	LXI	H, G1	
733	D39F	22 28 D0	SHLD	ADR2	
734	D3A2	3A 00 DE	LDA	NG1	
735	D3A5	32 17 D0	STA	CYKL2	
736	D3A8	21 01 DE	LXI	H, G1	
737	D3AB	22 2C D0	SHLD	ADR	
740	D3AE	CD DC D2	CALL	ADDAB	
741	D3B1	21 10 D0	LXI	H, CYKL	
742	D3B4	4E	MOV	C, M	
743	D3B5	21 01 DE	LXI	H, G1	
744	D3B8	CD 2F 52	CALL	CY504;	#TISK SOUCTU
745	D3BB	CD B0 51	CALL	CRLF	
746	D3BE	21 33 DC	LXI	H, NZLP;	#PRIprava pro deleni dvema
747	D3C1	36 01	MVI	M, 01H	
750	D3C3	16 40	MVI	D, 040H	#TVORBA JMENOVATELE (DVOJKY)
751	D3C5	1E 00	MVI	E, 00H	
752	D3C7	06 42	MVI	B, 042H	
753	D3C9	23	INX	H	
754	D3CA	CD A4 46	CALL	FTSXH	
755	D3CD	21 E1 FF	LXI	H, RADN	
756	D3D0	36 01	MVI	M, 01H	
757	D3D2	21 34 DC	LXI	H, ZLP1	
760	D3D5	22 F5 FF	SHLD	ADRAK	
761	D3D8	3A 00 DE	LDA	NG1	
762	D3DB	32 E0 FF	STA	RADM	
763	D3DE	3A 01 DE	LDA	G1	
764	D3E1	32 E2 FF	STA	RADK	

=====  
CROSSASSEMBLER JSA INTEL - MOS-2 DATE 17/05/83 TIME 01:02 PAGE 11  
=====

765	D3E4	22 F3 FF	SHLD	ADRBK	
766	D3E7	21 00 DF	LXI	H, GP	
767	D3EA	22 F7 FF	SHLD	ADRHK	
770	D3ED	3A 00 DE	LDA	NG1	
771	D3F0	32 00 D0	STA	NG	
772	D3F3	CD 00 F0	CALL	DIVBA;	;DELENI
773	D3F6	21 E2 FF	LXI	H, RADK	
774	D3F9	4E	MOV	C, M	
775	D3FA	21 00 DF	LXI	H, GP	
776	D3FD	CD 2F 52	CALL	CY504;	;TISK ARIT. PRUMERU
777	D400	C9	RET		
1000		;			
1001		;			
1002		;			
1003	D401		ORG	0D43A	
1004		;			
1005	D43A	CD 24 48	CALL	OASNP	
1006	D43D	0D	DB	0D	
1007	D43E	0A	DB	0A	
1010	D43F	50	DB	50;	;P
1011	D440	4F	DB	4F;	;O
1012	D441	43	DB	43;	;C
1013	D442	45	DB	45;	;E
1014	D443	54	DB	54;	;T
1015	D444	20	DB	20	
1016	D445	49	DB	49;	;I
1017	D446	44	DB	44;	;D
1020	D447	45	DB	45;	;E
1021	D448	4E	DB	4E;	;N
1022	D449	54	DB	54;	;T
1023	D44A	49	DB	49;	;I
1024	D44B	46	DB	46;	;F
1025	D44C	49	DB	49;	;I
1026	D44D	4B	DB	4B;	;K
1027	D44E	4F	DB	4F;	;O
1030	D44F	56	DB	56;	;V
1031	D450	41	DB	41;	;A
1032	D451	4E	DB	4E;	;N
1033	D452	59	DB	59;	;Y
1034	D453	43	DB	43;	;C
1035	D454	48	DB	48;	;H
1036	D455	20	DB	20	
1037	D456	43	DB	43;	;C
1040	D457	4C	DB	4C;	;L
1041	D458	45	DB	45;	;E
1042	D459	4E	DB	4E;	;N
1043	D45A	,55	DB	55;	;U
1044	D45B	20	DB	20	
1045	D45C	3D	DB	3D;	;=
1046	D45D	20	DB	20	
1047	D45E	00	DB	00	
1050	D45F	C9	RET		
1051		;			
1052		;			
1053		;			
1054	D460		ORG	0D463	

1055					
1056	D463	CD 24 48	CALL	OASNP	
1057	D466	0D	DB	0D	
1060	D467	0A	DB	0A	
1061	D468	50	DB	50;	;P
1062	D469	4F	DB	4F;	;O
1063	D46A	43	DB	43;	;C
1064	D46B	41	DB	41;	;A
1065	D46C	54	DB	54;	;T
1066	D46D	45	DB	45;	;E
1067	D46E	43	DB	43;	;C
1070	D46F	4E	DB	4E;	;N
1071	D470	49	DB	49;	;I
1072	D471	20	DB	20	
1073	D472	4F	DB	4F;	;O
1074	D473	42	DB	42;	;B
1075	D474	53	DB	53;	;S
1076	D475	41	DB	41;	;A
1077	D476	5A	DB	5A;	;Z
1100	D477	45	DB	45;	;E
1101	D478	4E	DB	4E;	;N
1102	D479	49	DB	49;	;I
1103	D47A	20	DB	20	
1104	D47B	44	DB	44;	;D
1105	D47C	55	DB	55;	;U
1106	D47D	4C	DB	4C;	;L
1107	D47E	44	DB	44;	;D
1110	D47F	53	DB	53;	;S
1111	D480	20	DB	20	
1112	D481	3D	DB	3D;	;=
1113	D482	20	DB	20	
1114	D483	00	DB	00	
1115	D484	C9	RET		
1116					
1117					
1120					
1121	D485		ORG	0D48A	
1122					
1123	D48A	CD 24 48	CALL	OASNP	
1124	D48D	0D	DB	0D	
1125	D48E	0A	DB	0A	
1126	D48F	5A	DB	5A;	;Z
1127	D490	49	DB	49;	;I
1130	D491	44	DB	44;	;D
1131	D492	45	DB	45;	;E
1132	D493	4E	DB	4E;	;N
1133	D494	2E	DB	2E;	;.
1134	D495	20	DB	20	
1135	D496	43	DB	43;	;C
1136	D497	4C	DB	4C;	;L
1137	D498	45	DB	45;	;E
1140	D499	4E	DB	4E;	;N
1141	D49A	59	DB	59;	;Y
1142	D49B	20	DB	20	
1143	D49C	28	DB	28;	;M
1144	D49D	43	DB	43;	;C

1145	D49E	49	DB	49;	;I
1146	D49F	54	DB	54;	;T
1147	D4A0	41	DB	41;	;A
1150	D4A1	54	DB	54;	;T
1151	D4A2	45	DB	45;	;E
1152	D4A3	4C	DB	4C;	;L
1153	D4A4	2F	DB	2F;	;/
1154	D4A5	4A	DB	4A;	;J
1155	D4A6	4D	DB	4D;	;M
1156	D4A7	45	DB	45;	;E
1157	D4A8	4E	DB	4E;	;N
1160	D4A9	4F	DB	4F;	;O
1161	D4AA	56	DB	56;	;V
1162	D4AB	41	DB	41;	;A
1163	D4AC	54	DB	54;	;T
1164	D4AD	45	DB	45;	;E
1165	D4AE	4C	DB	4C;	;L
1166	D4AF	29	DB	29;	;)
1167	D4B0	00	DB	00	
1170	D4B1	C9	RET		
1171			;		
1172			;		
1173			;		
1174	D4B2		ORG	0D4BF	
1175			; PODPROGRAM NALEZENI MINIMA A MAXIMA Z RADY,		
1176			; RADU ULOZIT NA GP, DELKU NA NG, ADRESA MAX.		
1177			; PRVKU BUDE NA ADR1 A ADRESA MIN. PRVKU BUDE		
1200			; NA ADR2		
1201			;		
1202	D4BF	3A 00 D0	LDA	NG;	;NALEZENI MINIMA
1203	D4C2	3C	INR	A	
1204	D4C3	32 10 D0	STA	CYKL	
1205	D4C6	21 00 DF	LXI	H, GP	
1206	D4C9	22 2C D0	SHLD	ADR	
1207	D4CC	22 28 D0	SHLD	ADR2	
1210	D4CF	3A 10 D0	NOVE2:	LDA	CYKL
1211	D4D2	3D	DCR	A	
1212	D4D3	32 10 D0	STA	CYKL	
1213	D4D6	CA F3 D4	JZ	KON2	
1214	D4D9	2A 2C D0	LHLD	ADR	
1215	D4DC	CD 9D 46	CALL	FTLYH	
1216	D4DF	CD 00 44	CALL	FTSBY;	;X=X-Y
1217	D4E2	7A	MOV	A, D	
1220	D4E3	07	RLC		;JE-LI CY=1, PAK X\Y
1221	D4E4	D2 CF D4	JNC	NOVE2	
1222	D4E7	2A 2C D0	LHLD	ADR	
1223	D4EA	2B	DCX	H	
1224	D4EB	2B	DCX	H	
1225	D4EC	2B	DCX	H	
1226	D4ED	22 28 D0	SHLD	ADR2	
1227	D4F0	C3 CF D4	JMP	NOVE2	
1230	D4F3	00	KON2:	NOP	
1231	D4F4	3A 00 D0	LDA	NG;	;NALEZENI MAXIMA
1232	D4F7	3C	INR	A	
1233	D4F8	32 10 D0	STA	CYKL	
1234	D4FB	21 00 DF	LXI	H, GP	

1235	D4FE	22 2C D0	SHLD	ADR	
1236	D501	22 2A D0	SHLD	ADR1	
1237	D504	3A 10 D0	NOVE1:	LDA	CYKL
1240	D507	3D		DCR	A
1241	D508	32 10 D0		STA	CYKL
1242	D50B	CA 31 D5		JZ	KON1
1243	D50E	2A 2C D0		LHLD	ADR
1244	D511	CD 96 46		CALL	FTLXH
1245	D514	22 2C D0		SHLD	ADR
1246	D517	2A 2A D0		LHLD	ADR1
1247	D51A	CD 9D 46		CALL	FTLYH
1248	D51D	CD 00 44		CALL	FTSBY;
1249	D520	7A		MOV	A, D
1250	D521	07		RLC	
1251	D522	DA 04 D5		JC	NOVE1
1252	D525	2A 2C D0		LHLD	ADR
1253	D528	2B		DCX	H
1254	D529	2B		DCX	H
1255	D52A	2B		DCX	H
1256	D52B	22 2A D0		SHLD	ADR1
1257	D52E	C3 04 D5		JMP	NOVE1
1258	D531	C9	KON1:	RET	
1259				;	
1260				;	
1261				;	
1262				;	
1263				;	
1264				;	
1265				;	
1266	D532		ORG	OD53D	
1267			;	PODPROGRAM KONSG, VYPOCET KONSTANTY GRAFU,	
1268			;	PROGRAMOVE OBSAZENI GRAFU	
1269			;		
1270					
1271					
1272	D53D	CD BF D4	CALL	MINMAX	
1273	D540	2A 2A D0	LHLD	ADR1	
1274	D543	CD 96 46	CALL	FTLXH	
1275	D546	2A 2B D0	LHLD	ADR2	
1276	D549	CD 9D 46	CALL	FTLYH	
1277	D54C	CD 00 44	CALL	FTSBY	
1278	D54F	21 3A 81	LXI	H, KKONKR	
1279	D552	CD A4 46	CALL	FTSXH	
1280	D555	16 00	MVI	D, 00	
1281	D557	1E 09	MVI	E, 09H	
1282	D559	21 F3 8B	LXI	H, BBF3H	
1283	D55C	73	MOV	M, E	
1284	D55D	CD E4 46	CALL	CFTHW;	
1285	D560	21 3A 81	LXI	H, KKONKR	
1286	D563	CD 9D 46	CALL	FTLYH	
1287	D566	CD C5 44	CALL	FTDYX;	
1288	D569	21 3A 81	LXI	H, KKONKR	
1289	D56C	CD A4 46	CALL	FTSXH	
1290	D56F	2A 2A D0	LHLD	ADR1	
1291	D572	CD 96 46	CALL	FTLXH	
1292	D575	21 27 81	LXI	H, KMAXGF	
1293	D578	CD A4 46	CALL	FTSXH	
1294	D57B	2A 2B D0	LHLD	ADR2	
1295	D57E	CD 96 46	CALL	FTLXH	
1296	D581	21 24 81	LXI	H, KMINGF	
1297	D584	CD A4 46	CALL	FTSXH	
1298	D587	21 37 81	LXI	H, KMINKR	

1325 D58A CD A4 46                    CALL    FTSXH  
1326 D58D C9                            RET  
1327 ;  
1330 ;  
1331 ;  
1332 D58E                            ORG    0D590  
1333 ; PODPROGRAM NASS, NASOBI VEKTOR KONSTANTOU (1-S)  
1334 ; DO A POCET PRVKA, DO HL ADRESU PUVOUDNIHO VEKTORU  
1335 ; DO DE ADRESU NOVOU  
1336 ;  
1337 D590 22 2C D0                    SHLD   ADR  
1340 D593 62                            MOV    H, D  
1341 D594 6B                            MOV    L, E  
1342 D595 22 2A D0                    SHLD   ADR1  
1343 D598 32 10 D0                    STA    CYKL  
1344 D59B 4F                            MOV    C, A  
1345 D59C 3C                            INR    A  
1346 D59D 32 12 D0                    STA    CYKL1  
1347 D5A0 16 00                        MVI    D, 00H  
1350 D5A2 1E 00                        MVI    E, 00H  
1351 D5A4 06 00                        MVI    B, 00H  
1352 D5A6 CD A4 46                    CALL   FTSXH  
1353 D5A9 54                            MOV    D, H  
1354 D5AA 5D                            MOV    E, L  
1355 D5AB 2A 2C D0                    LHLD   ADR  
1356 D5AE 3A 10 D0                    LDA    CYKL  
1357 D5B1 CD 64 D6                    CALL   PRES;                            ;PRESUN NA NOVY VEKTOR O 1 DEL  
1360 ; PRVNIM MISTE JE 0  
1361 D5B4 3A 12 D0                    LDA    CYKL1  
1362 D5B7 4F                            MOV    C, A  
1363 D5B8 2A 2A D0                    LHLD   ADR1  
1364 D5BB CD 4A F1                    CALL   MUL1: -1  
1365 D5BE 2A 2C D0                    LHLD   ADR  
1366 D5C1 3A 12 D0                    LDA    CYKL1  
1367 D5C4 2B                            SNIZ: DCX   H  
1370 D5C5 2B                            DCX   H  
1371 D5C6 2B                            DCX   H  
1372 D5C7 C2 C4 D5                    JNZ    SNIZ  
1373 D5CA 22 28 D0                    SHLD   ADR2  
1374 D5CD 2A 2A D0                    LHLD   ADR1  
1375 D5D0 22 2C D0                    SHLD   ADR  
1376 D5D3 3A 10 D0                    LDA    CYKL  
1377 D5D6 32 17 D0                    STA    CYKL2  
1400 D5D9 CD DC D2                    CALL   ADDAB;                            ;SOUSET PUVOUDNIHO VEKTORU S P  
1401 ; A VYNASOBENYM -1  
1402 D5DC 3A 10 D0                    LDA    CYKL  
1403 D5DF 32 1A DC                    STA    MM  
1404 D5E2 C9                            RET  
1405 ;  
1406 ;  
1407 ;  
1410 D5E3                            ORG    0D5E7  
1411 ;  
1412 ;HLAVNI PROGRAM PRO DVOJNASOBNY  
1413 ;VYPOCET ZLOM  
1414 ;

1415 D5E7 CD 44 D1      CALL OBSAZ; ; NACTENI Z DISPL.  
1416 D5EA 21 00 E2      LXI H, PM1  
1417 D5ED 11 1B DC      LXI D, MP  
1420 D5F0 3A CA E1      LDA DR1  
1421 D5F3 CD 90 D5      CALL NASS;  
1422 D5F6 3A FB 00      LDA NRV1  
1423 D5F9 32 00 DB      STA NBH  
1424 D5FC 4F      MOV C, A  
1425 D5FD 21 01 FB      LXI H, ULD1  
1426 D600 11 01 DB      LXI D, BH  
1427 D603 CD 64 D6      CALL PRES;  
1430 D606 3A CA E1      LDA DR1  
1431 D609 32 00 DC      STA NN  
1432 D60C 4F      MOV C, A  
1433 D60D 21 18 E2      LXI H, PN1  
1434 D610 11 01 DC      LXI D, NP  
1435 D613 CD 64 D6      CALL PRES;  
1436 D616 CD A1 D1      CALL ZLOM;  
1437 D619 3A 00 DE      LDA NG1  
1440 D61C 32 00 DA      STA NZL01  
1441 D61F 4F      MOV C, A  
1442 D620 21 01 DE      LXI H, G1  
1443 D623 11 01 DA      LXI D, ZL01  
1444 D626 CD 64 D6      CALL PRES;  
1445 D629 21 30 E2      LXI H, PM2  
1446 D62C 11 1B DC      LXI D, MP  
1447 D62F 3A CB E1      LDA DR2  
1450 D632 32 1A DC      STA MM  
1451 D635 CD 90 D5      CALL NASS;  
1452 D638 3A 00 FC      LDA NRV2  
1453 D63B 32 00 DB      STA NBH  
1454 D63E 4F      MOV C, A  
1455 D63F 21 01 FC      LXI H, ULD2  
1456 D642 21 01 DB      LXI H, BH  
1457 D645 CD 64 D6      CALL PRES;  
1460 D648 3A CB E1      LDA DR2  
1461 D64B 32 00 DC      STA NN  
1462 D64E 4F      MOV C, A  
1463 D64F 21 48 E2      LXI H, PN2  
1464 D652 21 01 DC      LXI H, NP  
1465 D655 CD 64 D6      CALL PRES;  
1466 D658 21 00 DA      LXI H, NZL01  
1467 D65B 5E      MOV E, M  
1470 D65C CD A7 D1      CALL ZLOM2;  
1471 D65F C3 90 D3      JMP NAVF  
1472 ;  
1473 ;  
1474 ;  
1475 D662      ORG 0D664  
1476 ; PODPROGRAM PRES, PRESOUVA VEKTOR NA JINE MISTO  
1477 ; V PAMETI, DO HL PUvodni ADRESA, DO DE NOVA A DO  
1500 ; A DELKA VEKToru  
1501 ;  
1502 D664 22 2C D0      SHLD ADR  
1503 D667 EB      XCHG  
1504 D668 22 28 D0      SHLD ADR2

=====  
CROSSASSEMBLER JSA INTEL - MDS-2 DATE 17/05/83 TIME 01:07 PAGE 17  
=====

1505	D66B	2A 2C D0	ZNOVU:	LHLD	ADR	
1506	D66E	CD 96 46		CALL	FTLXH	
1507	D671	22 2C D0		SHLD	ADR	
1510	D674	2A 28 D0		LHLD	ADR2	
1511	D677	CD A4 46		CALL	FTSXH	
1512	D67A	22 28 D0		SHLD	ADR2	
1513	D67D	3D		DCR	A	
1514	D67E	C2 6B D6		JNZ	ZNOVU	
1515	D681	C9		RET		
1516		;				
1517		;				
1520		;				
1521	D682			ORG	0D6AA	
1522		;				
1523	D6AA	CD 24 48		CALL	OASNP	
1524	D6AD	0D		DB	0D	
1525	D6AE	0A		DB	0A	
1526	D6AF	41		DB	41;	;A
1527	D6B0	52		DB	52;	;R
1530	D6B1	49		DB	49;	;I
1531	D6B2	54		DB	54;	;T
1532	D6B3	4D		DB	4D;	;M
1533	D6B4	45		DB	45;	;E
1534	D6B5	54		DB	54;	;T
1535	D6B6	2E		DB	2E;	;
1536	D6B7	20		DB	20	
1537	D6B8	50		DB	50;	;P
1540	D6B9	52		DB	52;	;R
1541	D6BA	55		DB	55;	;U
1542	D6BB	4D		DB	4D;	;M
1543	D6BC	45		DB	45;	;E
1544	D6BD	52		DB	52;	;R
1545	D6BE	2C		DB	2C;	;
1546	D6BF	20		DB	20	
1547	D6C0	50		DB	50;	;P
1550	D6C1	4F		DB	4F;	;O
1551	D6C2	4C		DB	4C;	;L
1552	D6C3	59		DB	59;	;Y
1553	D6C4	4E		DB	4E;	;N
1554	D6C5	4F		DB	4F;	;O
1555	D6C6	4D		DB	4D;	;M
1556	D6C7	20		DB	20	
1557	D6C8	42		DB	42;	;B
1560	D6C9	2F		DB	2F;	;
1561	D6CA	41		DB	41;	;A
1562	D6CB	41		DB	41;	;A
1563	D6CC	0B		DB	0B	
1564	D6CD	00		DB	00	
1565	D6CE	C9		RET		
1566		;				
1567		;				
1570		;				
1571	D6CF			ORG	0D6D3	
1572		;				
1573		;	PODPROGRAM TTISK, VYSLEDEK LDFIL			
1574		;				

=====  
CROSSASSEMBLER JSA INTEL - MOS-2 DATE 17/05/83 TIME 01:07 PAGE 18  
=====

1575	D6D3	2A 84 93	LHLD	9384H	
1576	D6D6	3A 84 7C	LDA	NRV	
1577	D6D9	4F	MOV	C, A	
1600	D6DA	CD 18 93	CALL	9318	
1601	D6DD	CD B0 51	CALL	CRLF	
1602	D6E0	CD B0 51	CALL	CRLF	
1603	D6E3	1E 40	MVI	D, 40H	
1604	D6E5	1E 00	MVI	E, 00H	
1605	D6E7	06 41	MVI	B, 41H	
1606	D6E9	CD B5 48	CALL	ODFTX;	; TISKNE "NATVRDO" 0.1000 E+1
1607	D6EC	CD 46 48	CALL	OABLK	
1610	D6EF	CD 46 48	CALL	OABLK	
1611	D6F2	21 B0 7E	LXI	H, 7E80	
1612	D6F5	CD 96 46	CALL	FTLXH	
1613	D6F8	CD B5 48	CALL	ODFTX	
1614	D6FB	CD 46 48	CALL	OABLK	
1615	D6FE	CD 46 48	CALL	OABLK	
1616	D701	3A 84 7C	LDA	NRV	
1617	D704	3D	DCR	A	
1620	D705	CA 45 45	JZ	KONEC	
1621	D708	3D	DCR	A	
1622	D709	CA 45 45	JZ	KONEC	
1623	D70C	CD 46 48	CALL	OABLK	
1624	D70F	4F	MOV	C, A	
1625	D710	CD 18 93	CALL	9318	
1626	D713	C3 45 45	JMP	KONEC	
1627	D716	00	NOP		
1630	D717	00	NOP		
1631			END		

=====  
CROSSASSEMBLER JSA INTEL - MOS-2 DATE 17/05/83 TIME 01:08 PAGE 19  
=====

SYMBOL TABLE LISTING

PC	D718
KONEC	4545
CTVE	5311
CY504	522F
IDHWX	49F9
IDFTX	4A1E
ODHWX	489A
ODFTX	48B5
OASNP	4824
NULDIS	0CF4
FTADD	440E
FTLXH	4696
FTLYH	469D
FTSXH	46A4
FTSBY	4400
FTDYX	44C5
CFTHW	46E4
CRLF	51B0
SNRS	537F
OABLK	4846
ADDAB	D2DC
DIVBA	F000
MULAB	EA00
STLDF	5A7A
KLDF	5A0F
LDFT	5B3C
KRTEC	8DB1
KSPBOD	910C
KEDIT	91EF
KONSG	D53D
CI	0D6A
ZLOM	D1A1
ZLOM2	D1A7
TGRAF	D28C
TINRV	D43A
TIDUL	D463
TTEXT	D48A
TTISK	D6AA
OBSAZ	D144
MUL1	F14B
PRES	D664
NASS	D590
CTENI	D26C
CTENI1	D278
MINMAX	D4BF
TTEXT2	D685
TTISK2	D390
DULDS	7DB3
DALD	7FE8
NG	D000
GP	DF00
CYKL	D010
CYKL1	D012
CYKL2	D017
ADR	D02C

=====  
CROSSASSEMBLER JSA INTEL - MOS-2 DATE 17/05/83 TIME 01:08 PAGE 20  
=====

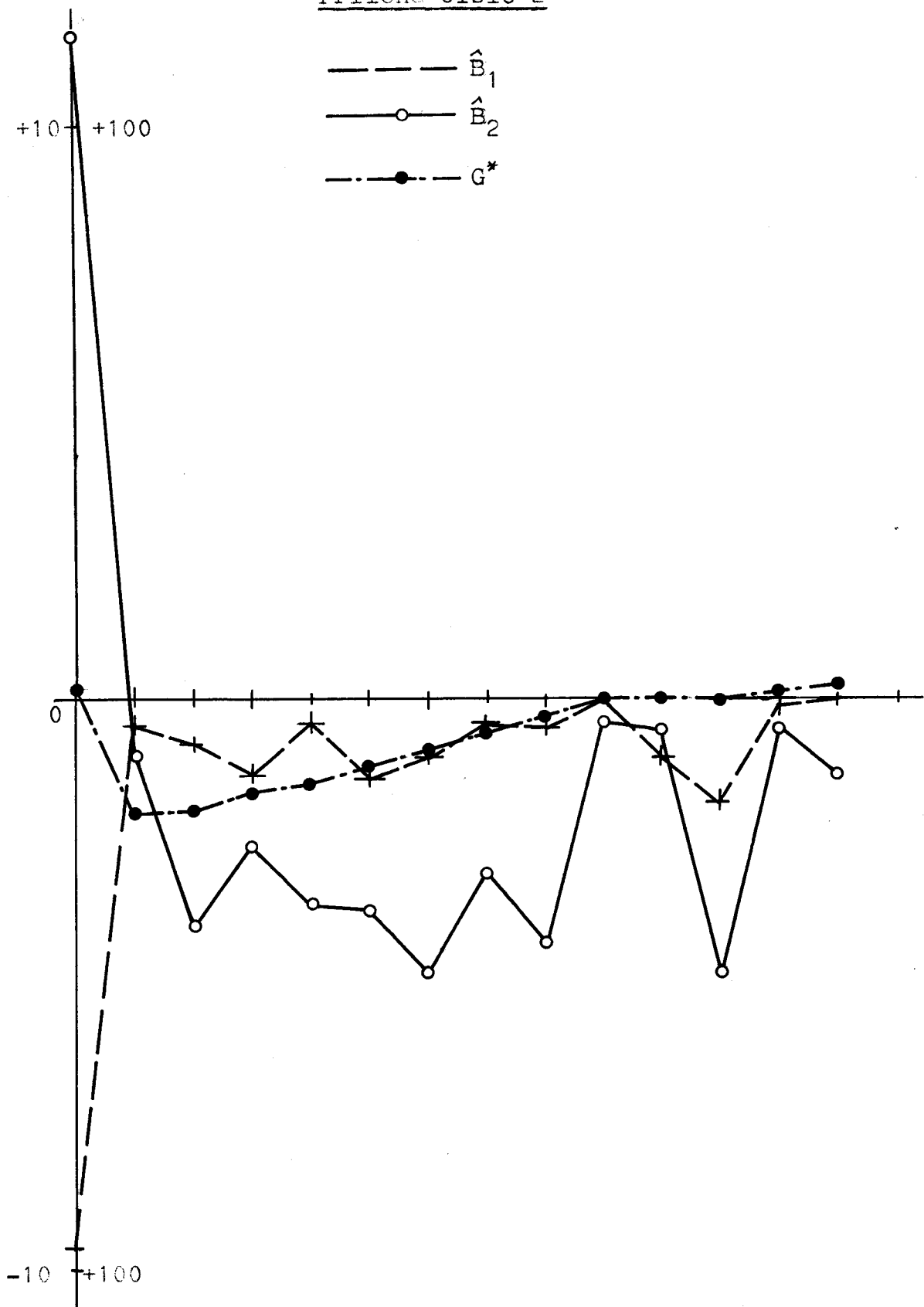
ADR1	D02A
ADR2	D02B
MOC	D009
NRV	7C84
FRG	7CF4
BH	DB01
MP	DC1B
NP	DC01
NBH	DB00
MM	DC1A
NN	DC00
POPO	DD01
NPOPO	DD00
AP	EAB0
BP	EAB2
CP	EAB4
NZL01	DA00
ZL01	DA01
KMAXGF	8127
KMINGF	8124
KMINKR	8137
KKONGF	8130
KKONKR	813A
ULD1	FB01
ULD2	FC01
NRV1	00FB
NRV2	FC00
PM1	E200
PM2	E230
PN1	E218
PN2	E248
DR1	E1CA
DR2	E1CB
NZLP	DC33
ZLP1	DC34
NG1	DE00
G1	DE01
N	EAA1
M	EAA2
NM	EAA0
RADM	FFE0
RADN	FFE1
RADK	FFE2
ADRBK	FFF3
ADRAK	FFF5
ADRGK	FFF7
NAV1	D07E
NAV2	D0B6
NAV3	D0F7
LBL1	D2A7
LBL2	D2CA
NAV9	D2EF
NAVA	D2FA
NAV8	D30C
NAV7	D314
NAV8	D328

=====  
CROSSASSEMBLER JSA INTEL - MOS-2 DATE 17/05/83 TIME 01:09 PAGE 21  
=====

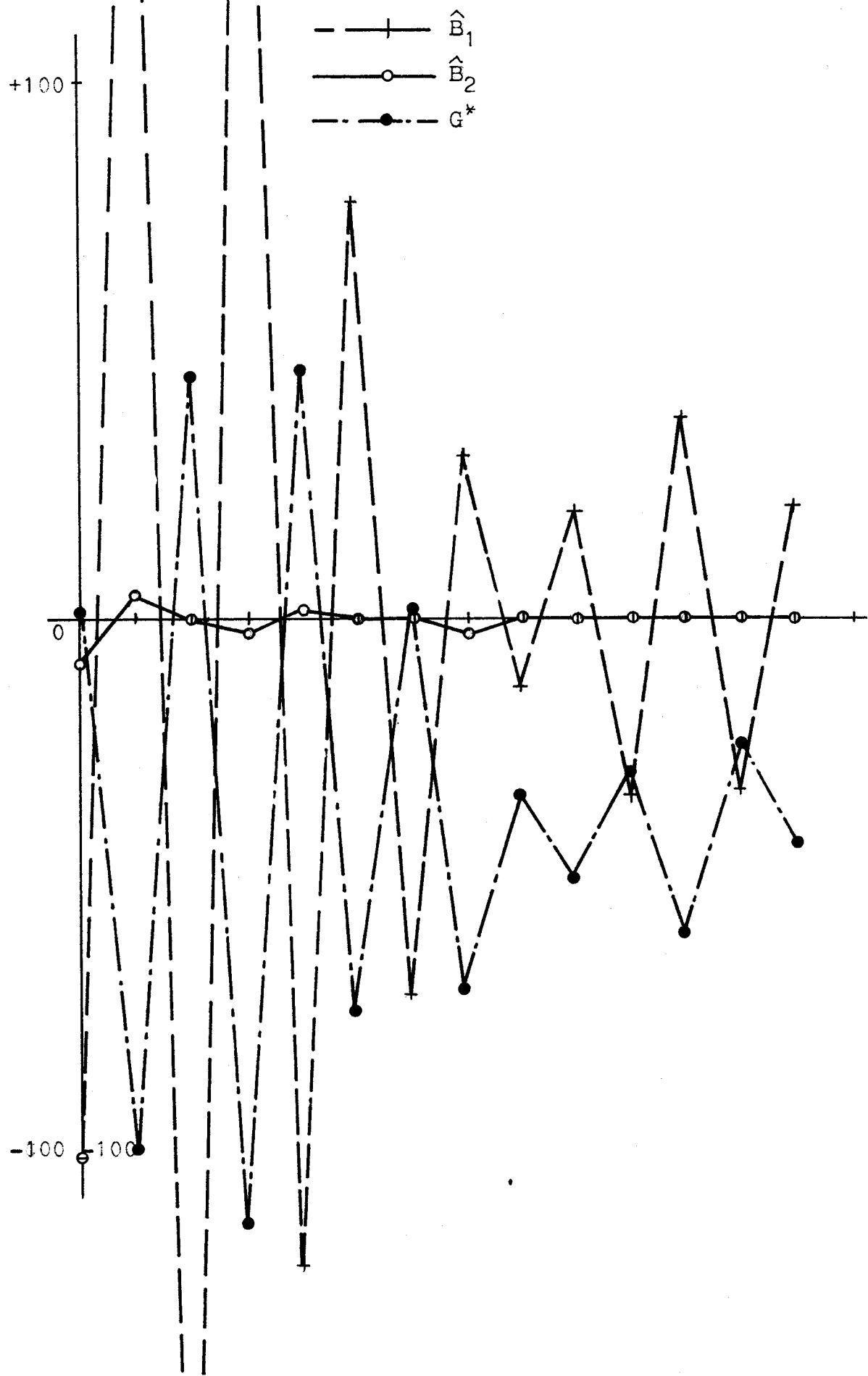
NAVC	D32C
NAVD	D337
NAVF	D390
NOVE2	D4CF
KON2	D4F3
NOVE1	D504
KON1	D531
SNIZ	D5C4
ZNOVU	D66B

JSA INTEL END OF ASSEMBLY

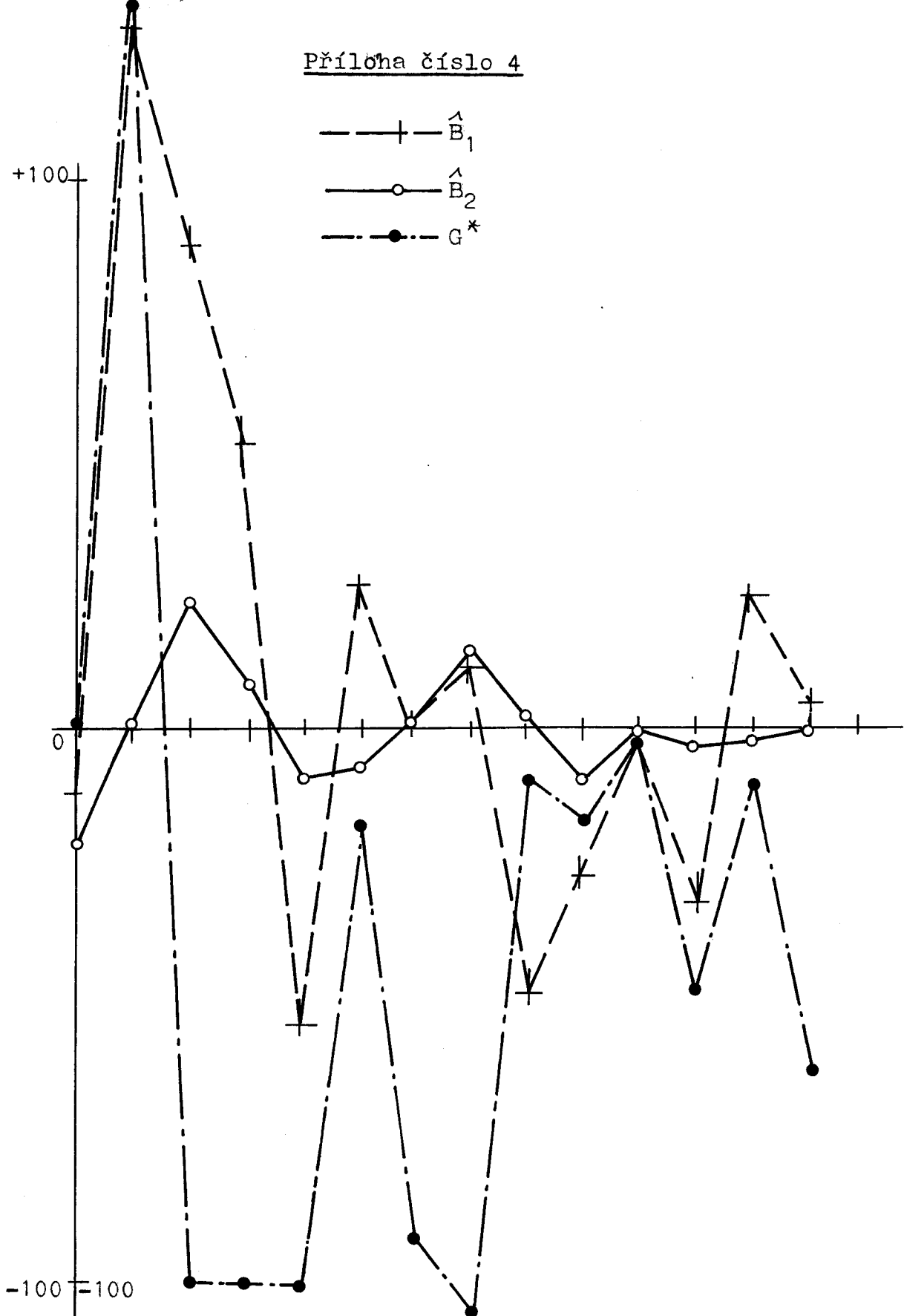
Příloha číslo 2



Příloha číslo 3



Příloha číslo 4



Příloha číslo 5

